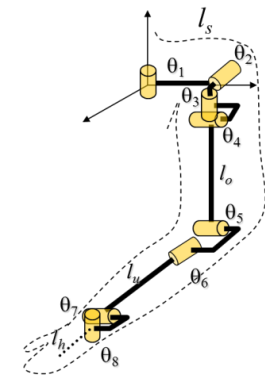
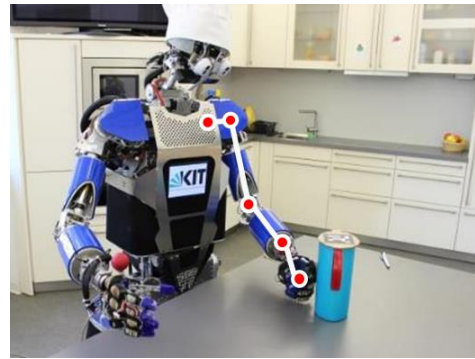
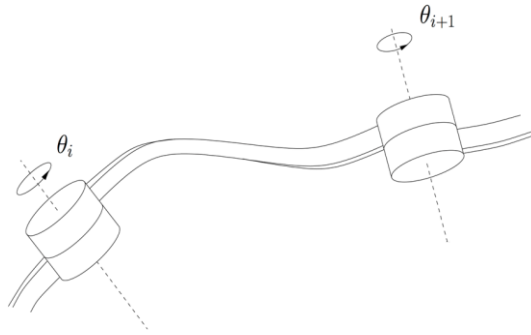


Robotik I: Einführung in die Robotik

Kapitel 1 – Mathematische Grundlagen

Tamim Asfour

<http://www.humanoids.kit.edu>



Motivation



ARMAR!
Bring me the
apple juice from
the fridge

Motivation

- Welche mathematischen Methoden werden benötigt?
- Wir müssen Positionen im Raum beschreiben:
 - Wo ist der Apfelsaft? (an welcher Koordinate?)
 - Relativ zu welchem Koordinatensystem?
 - Relativ zum Kamera-Koordinatensystem?
 - Relativ zum Arm/Schulter-Basiskoordinatensystem?
 - Relativ zum Basiskoordinatensystem der mobilen Plattform? (zwei Meter vor dem Roboter?)
 - Relativ zum Weltkoordinatensystem? (befindet sich ganz links in der Ecke der Küche)
- Wir müssen Orientierungen im Raum beschreiben:
 - Befindet sich die Flasche direkt vor dem Roboter?
 - Oder muss sich der Roboter nach links drehen um die Flasche zu sehen?
- **Wir benötigen ein mathematisches Rahmenwerk zum Beschreiben von Positionen (Translationen) und Orientierungen (Rotationen)**

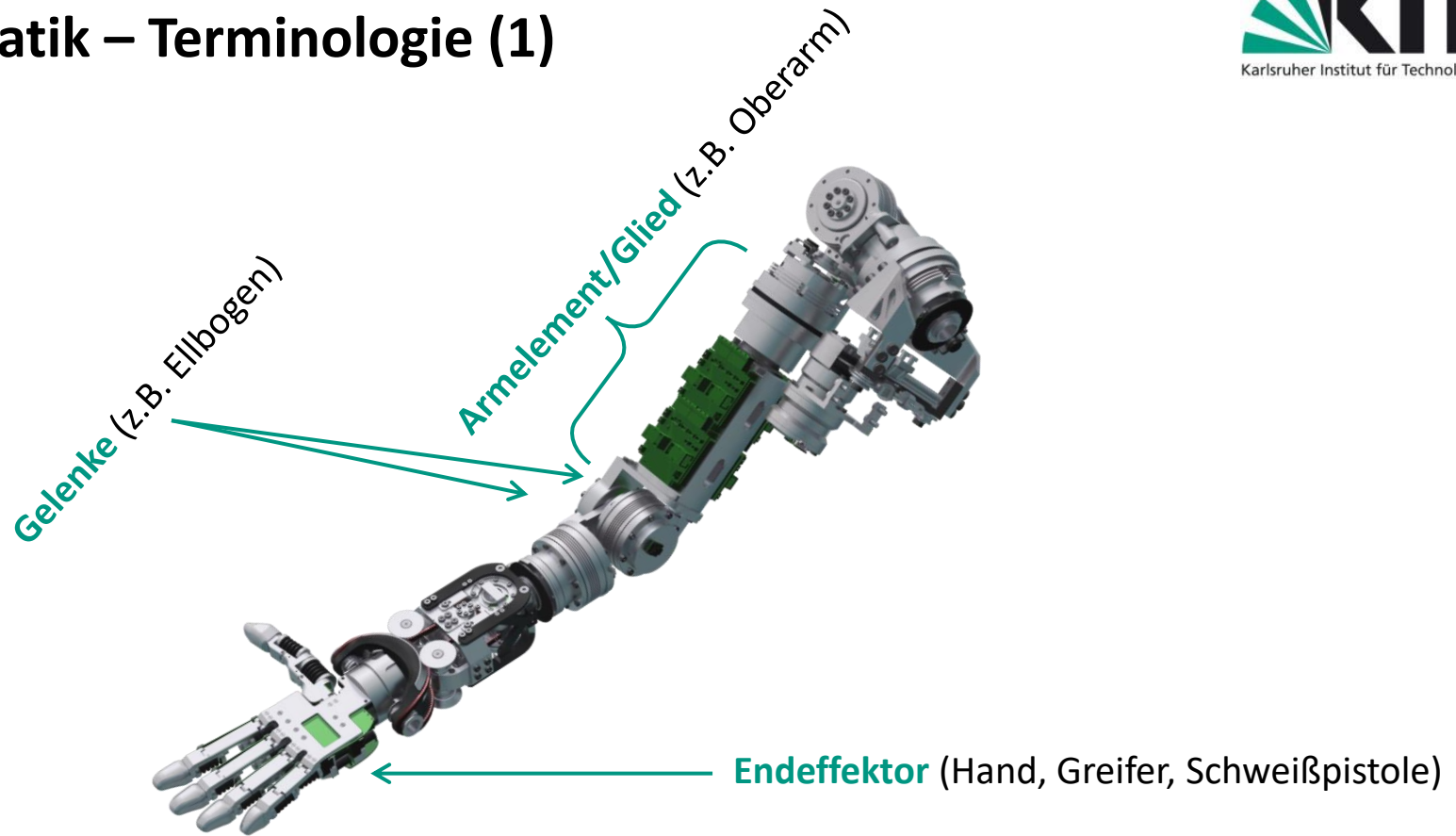
Kinematische Grundlagen

- Dieses Kapitel ist eine Einführung in die mathematischen Grundlagen der Robotik
- Mathematische Methoden zur Beschreibung von Starrkörpertransformationen (basierend auf Linearer Algebra)
- Anwendung dieser Methoden, um Roboter zu modellieren

Definitionen

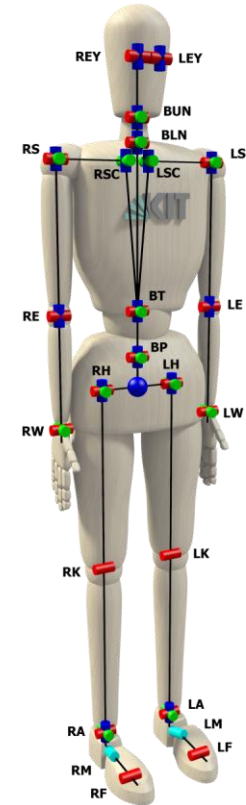
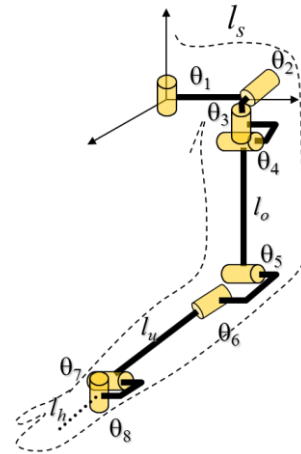
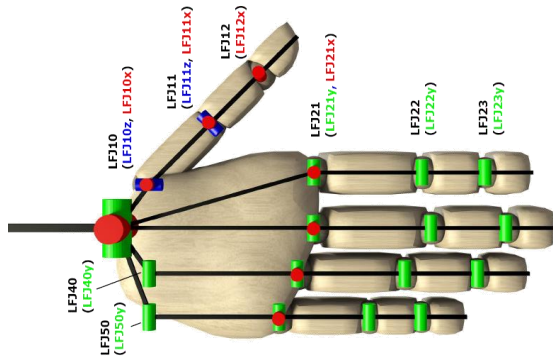
- **Kinematik** ist die reine geometrische Beschreibung von **Bewegung** eines Mechanismus bzw. eines Roboters. Das essentielle Konzept ist die **Position**.
- **Statik** behandelt **Kräfte und Momente**, die sich auf einen **ruhenden** Mechanismus auswirken. Das essentielle Konzept ist die **Steifigkeit**.
- **Dynamik** analysiert die **Kräfte und Momente**, die durch **Bewegung und Beschleunigung** eines Mechanismus und einer zusätzlichen Last entstehen.

Kinematik – Terminologie (1)



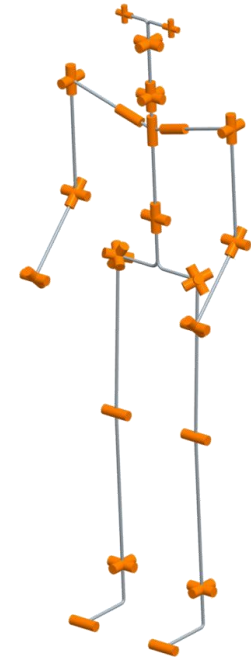
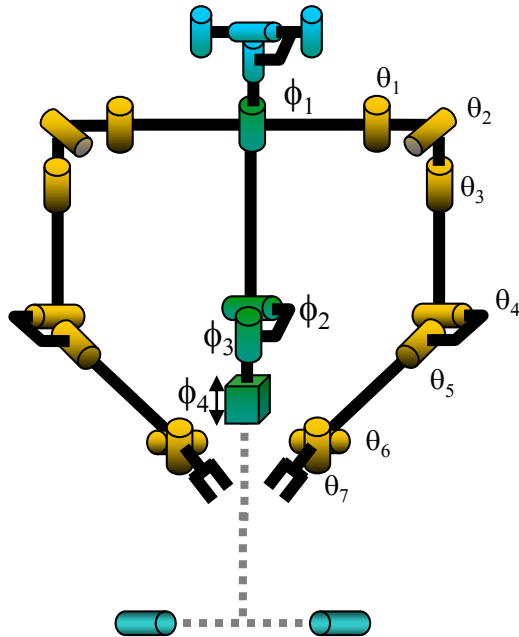
Kinematik – Terminologie (2)

- **Kinematische Kette** ist eine Menge an Gliedern, die durch Gelenke verbunden sind.
- Kinematische Ketten können durch einen Graph repräsentiert werden. Kanten repräsentieren Glieder, Knoten repräsentieren Gelenke.



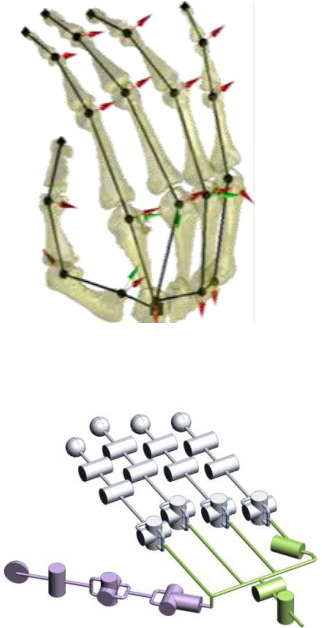
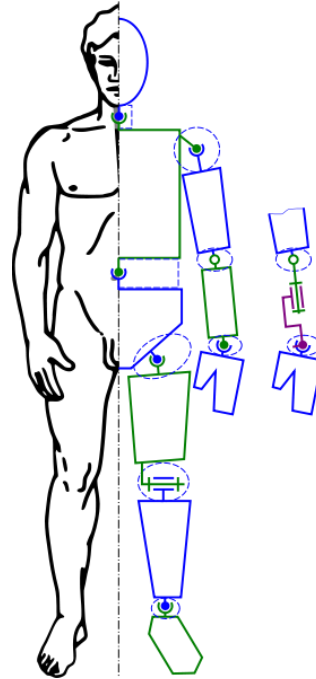
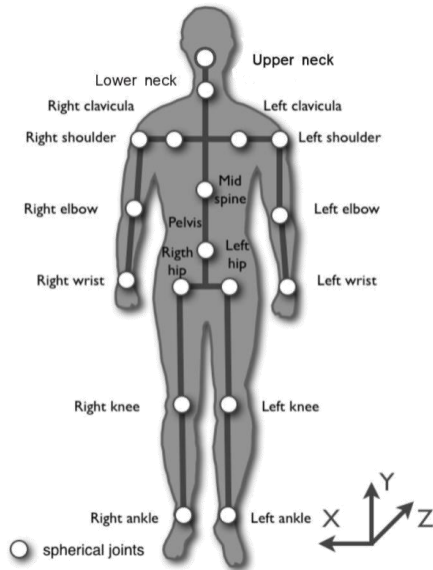
Kinematik – Terminologie (3)

Kinematische Ketten: weitere Beispiele



Kinematik – Terminologie (4)

Kinematische Ketten: weitere Beispiele



Kinematik – Freiheitsgrade

Englisch: **Degrees of Freedom (DoF)**

Freiheitsgrade (weniger formale Definition) ist die Anzahl unabhängiger Parameter, die zur kompletten Spezifikation **der Lage (Position und Orientierung)** eines Mechanismus/Objekts benötigt werden.

Beispiele:

- Ein Punkt auf einer Ebene hat 2 DoF
- Ein Punkt im 3D Raum hat 3 DoF
- Ein Starrkörper in 2D Raum, z.B. auf einer Ebene hat 3 DoF
- Ein Starrkörper im 3D Raum hat 6 DoF

Konventionen

In dieser Vorlesung, werden für Symbole folgende Konventionen verwendet:

- Skalare: kleingeschriebene lateinische Buchstaben
Beispiel: $s, t \in \mathbb{R}$
- Vektoren: fette kleingeschriebene lateinische Buchstaben
Beispiel: $\mathbf{a}, \mathbf{b}, \mathbf{c} \in \mathbb{R}^3$
- Matrizen: großgeschriebene lateinische Buchstaben
Beispiel: $A \in \mathbb{R}^{3 \times 3}$
- Lineare Abbildungen (Transformationen): großgeschriebene griechische Buchstaben
Beispiel: $\phi(\cdot): \mathbb{R}^3 \rightarrow \mathbb{R}^3$

Starrkörperbewegungen werden durch **zwei Eigenschaften** charakterisiert:

1. Die Distanz zweier beliebiger Punkte ist konstant
2. Die Orientierungen (im Körper) bleiben erhalten.
(Ein rechtsdrehendes Koordinatensystem bleibt rechtsdrehend)

$SO(3)$ und $SE(3)$

Die folgenden zwei Gruppen sind in der Robotik von besonderem Interesse:

- **$SO(3)$ - die Spezielle Orthogonale Gruppe**, die **Rotationen** repräsentiert
- **$SE(3)$ - die Spezielle Euklidische Gruppe**, die **Transformationen** repräsentiert
- **Elemente aus $SO(3)$** werden als reale 3×3 orthogonale Matrizen R (Zeilen- und Spaltenvektoren orthonormal) beschrieben und erfüllen

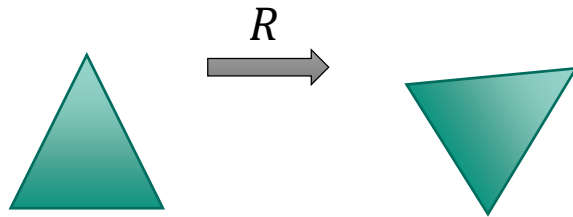
$$R^T R = I \quad \text{mit} \quad \det(R) = 1$$

- **Elemente aus $SE(3)$** sind von der Form (\mathbf{p}, R) , mit $\mathbf{p} \in \mathbb{R}^3$ und $R \in SO(3)$

SO(3) und SE(3)

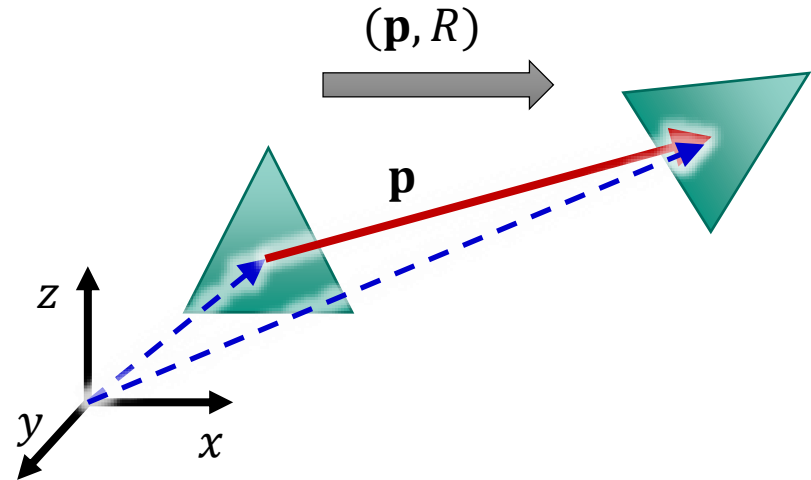
SO(3)

- Rotation (Orientierung)
- $R \in SO(3) \subset \mathbb{R}^{3 \times 3}$



SE(3)

- Translation und Rotation (Position und Orientierung)
- $(\mathbf{p}, R) \in SE(3)$ mit $\mathbf{p} \in \mathbb{R}^3, R \in SO(3)$



Affine Geometrie

- Beschreibung von räumlichen Transformationen
- Diese räumlichen Transformationen bestehen aus Verknüpfungen von **Rotationen** und **Translationen**

- Unterschiedliche Möglichkeiten zur mathematischen Beschreibung räumlicher Transformationen:
 - Rotationsmatrizen und Translationsvektoren
 - Homogene Matrizen
 - Quaternionen
 - Duale Quaternionen
 - ...

- Diese Vorlesung wird die üblichsten Repräsentation einführen

Euklidischer Raum (1)

- Der euklidische Raum ist der **Vektorraum** \mathbb{R}^3 mit dem **Skalarprodukt** (auch: inneres Produkt, Punktprodukt)
- Beispiel:

Ein Punkt \mathbf{c} , der auf einer Linie zwischen den zwei Punkten \mathbf{a} und \mathbf{b} liegt, kann folgendermaßen repräsentiert werden

$$\mathbf{c} = t \cdot \mathbf{a} + (1 - t) \cdot \mathbf{b}, \quad t \in [0, 1] \subset \mathbb{R}, \quad \mathbf{a}, \mathbf{b}, \mathbf{c} \in \mathbb{R}^3$$

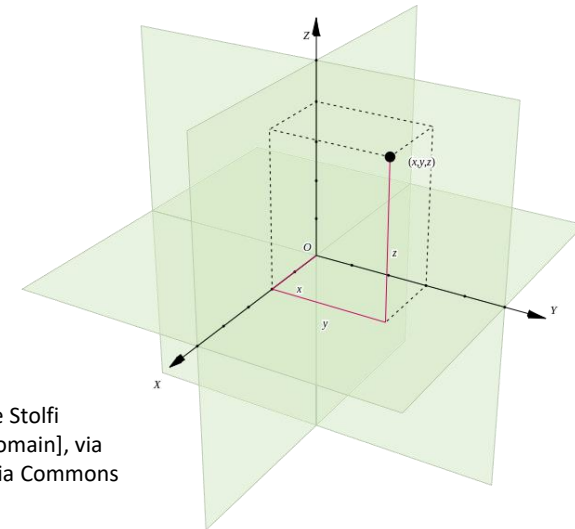
Euklidischer Raum (2)

- Ein **Punkt** \mathbf{a} im euklidischen Raum wird durch Koordinaten repräsentiert, die sich auf ein **Koordinatensystem** $\mathbf{e}_x, \mathbf{e}_y, \mathbf{e}_z$ beziehen:

$$\mathbf{a} = (a_x, a_y, a_z)^\top = a_x \cdot \mathbf{e}_x + a_y \cdot \mathbf{e}_y + a_z \cdot \mathbf{e}_z \quad (\mathbf{e}_x, \mathbf{e}_y, \mathbf{e}_z \in \mathbb{R}^3)$$

- Konventionen:

- Wir benutzen **orthonormale Koordinatensysteme**.
Die Basisvektoren $\mathbf{e}_x, \mathbf{e}_y, \mathbf{e}_z$ sind zueinander **orthogonale** (senkrecht) stehende **Einheitsvektoren**.
- Wir benutzen **rechtsdrehende Koordinatensysteme**.



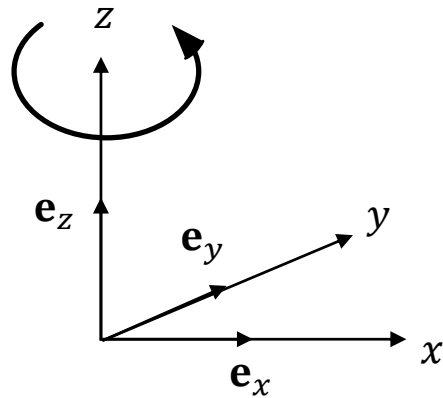
von Jorge Stolfi
[Public domain], via
Wikimedia Commons

Koordinatensysteme (1)

Rechtsdrehendes Koordinatensystem

$$\mathbf{e}_x \times \mathbf{e}_y = \mathbf{e}_z$$

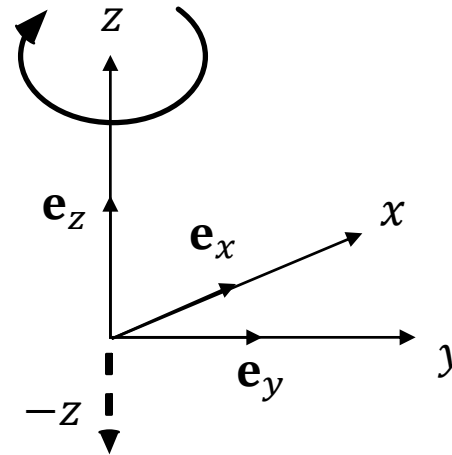
$$\mathbf{x} \times \mathbf{y} = \mathbf{z}$$



Linksdrehendes Koordinatensystem

$$\mathbf{e}_x \times \mathbf{e}_y = -\mathbf{e}_z$$

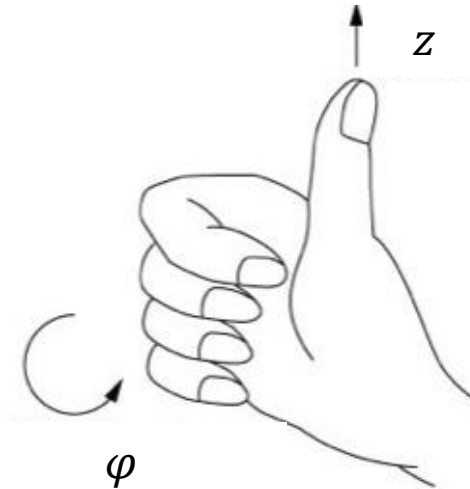
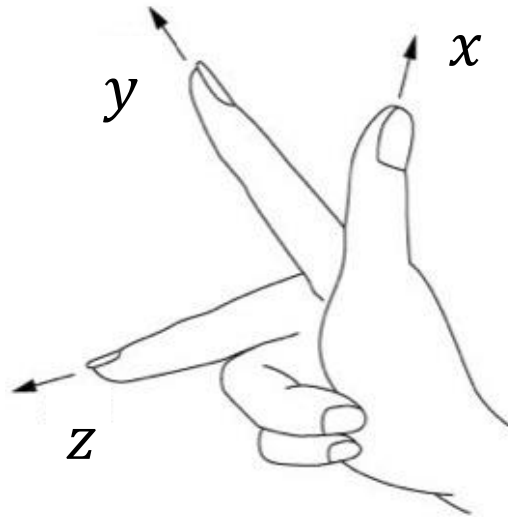
$$\mathbf{x} \times \mathbf{y} = -\mathbf{z}$$



\times : Kreuzprodukt

Koordinatensysteme (2)

Rechte-Hand-Regel für rechtsdrehende Koordinatensysteme



Lineare Abbildungen: Endomorphismen

- **Lineare Abbildungen (Transformationen)**, die den euklidischen Raum auf sich selbst abbilden, nennt man **Endomorphismen**:

$$\phi(\cdot): \mathbb{R}^3 \rightarrow \mathbb{R}^3$$

- Endomorphismen können durch **quadratische Matrizen** repräsentiert werden:

$$\phi(\mathbf{a}) = A \cdot \mathbf{a}, \quad A \in \mathbb{R}^{3 \times 3}$$

- A beschreibt einen **Basiswechsel** zwischen den originalen Basisvektoren $\mathbf{e}_x, \mathbf{e}_y, \mathbf{e}_z$ und den neuen Basisvektoren $\mathbf{e}'_x, \mathbf{e}'_y, \mathbf{e}'_z$:

$$A = \begin{pmatrix} \mathbf{e}'_x & \mathbf{e}'_y & \mathbf{e}'_z \end{pmatrix} \cdot \begin{pmatrix} \mathbf{e}_x & \mathbf{e}_y & \mathbf{e}_z \end{pmatrix}^{-1}$$

Lineare Abbildungen: Isomorphismen

- **Bijektive** (umkehrbare) Endomorphismen nennt man **Isomorphismen**.
- Isomorphismen können spezielle und interessante Eigenschaften besitzen:
 1. Winkel bleiben erhalten. (Beispiel: Skalierung und Rotation)
 2. Längen bleiben erhalten. (Beispiel: Rotation)
 3. Händigkeit bleibt erhalten. (Beispiel: Rotation. Rechtshändiges Koordinatensystem bleibt erhalten, usw.)
- Eine spezielle Art von Isomorphismen, die alle genannten Kriterien erfüllt, ist die **Rotationsgruppe** (oder spezielle orthogonale Gruppe) $SO(3)$.

Die Rotationsgruppe $SO(3)$

- $SO(3)$ beinhaltet **alle möglichen Rotationen** um willkürlich durch den Ursprung verlaufende Rotationsachsen.
- $SO(3)$ ist **nicht kommutativ** (nicht abelsch), z.B.

$$A \cdot B \cdot \mathbf{x} \neq B \cdot A \cdot \mathbf{x}, \quad \mathbf{x} \in \mathbb{R}^3, \quad A, B \in SO(3)$$

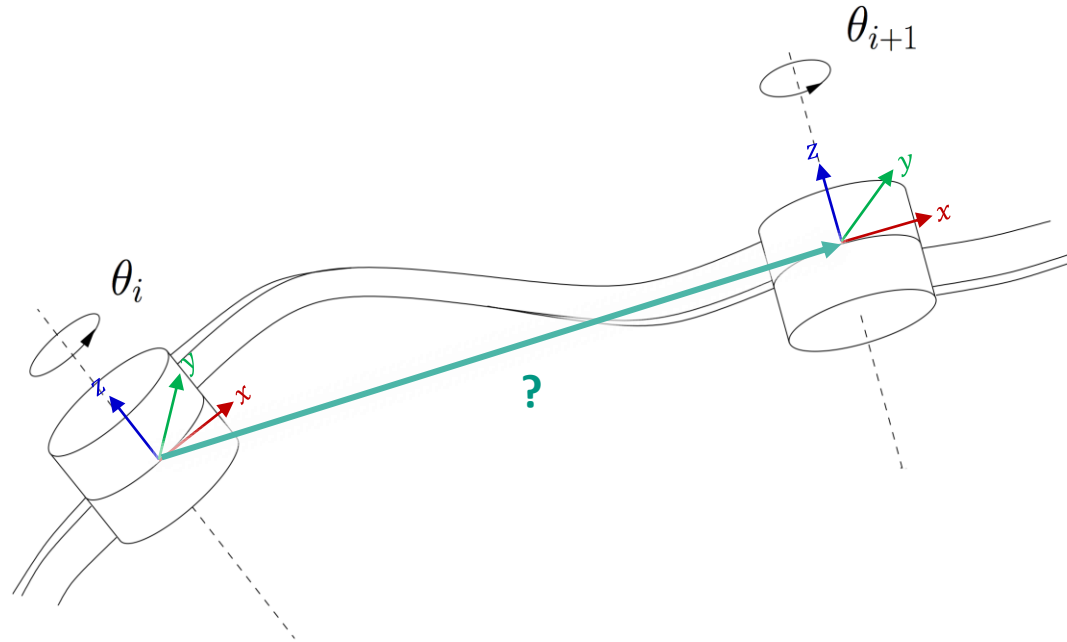
Warum sind $SO(3)$ und $SE(3)$ interessant für die Robotik?

- Mit Hilfe von $SO(3)$ und $SE(3)$, kann eine **Objektpose** (Position und Orientierung) im Raum sowie **Transformationen zwischen zwei Robotergelenkachsen** als **Verkettung einer Translation und einer Rotation** repräsentiert werden:

$$\varphi(\cdot): \mathbb{R}^3 \rightarrow \mathbb{R}^3, \quad \varphi(\mathbf{x}) = R \cdot \mathbf{x} + \mathbf{t}, \quad \mathbf{x}, \mathbf{t} \in \mathbb{R}^3, \quad R \in SO(3)$$

- Die Abbildung $\varphi(\cdot)$ ist nicht linear (wegen der Addition)! Sie wird **affin** genannt.

Transformation zwischen zwei Robotergelenkachsen



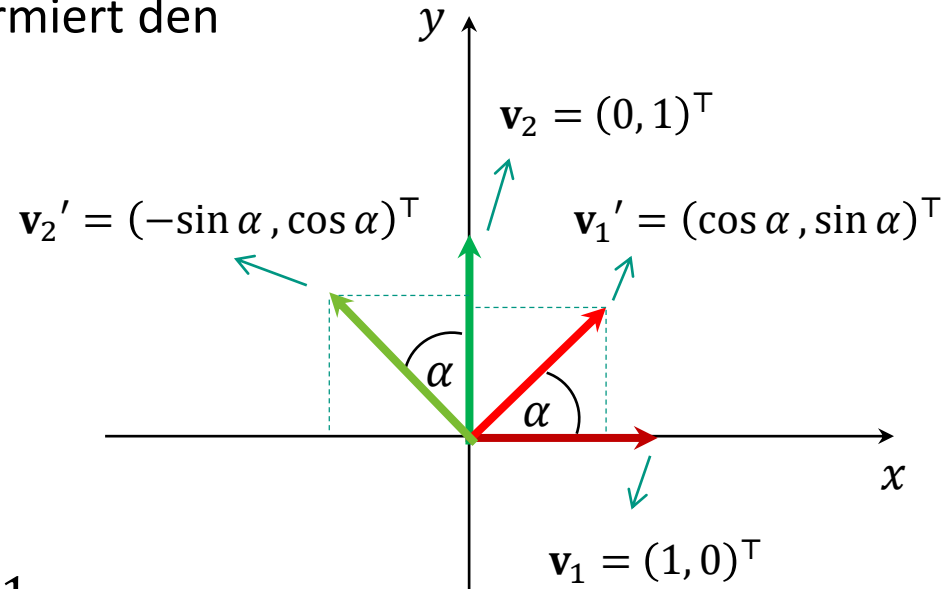
Rotationen in 2D

- Eine **Rotation in der xy -Ebene** um $(0, 0)$ ist eine **lineare Transformation**
- Eine Rotation von α um $(0, 0)$ transformiert den
 - Vektor $(1, 0)^\top$ zu $(\cos \alpha, \sin \alpha)^\top$
 - Vektor $(0, 1)^\top$ zu $(-\sin \alpha, \cos \alpha)^\top$

■ Rotationsmatrix

$$R_\alpha(x) = \begin{pmatrix} \cos \alpha & -\sin \alpha \\ \sin \alpha & \cos \alpha \end{pmatrix} \cdot \mathbf{x}$$

$$\text{mit } RR^\top = R^\top R = I, \quad \det(R) = 1$$



Rotationen in 2D

- Eine **Rotation** um einen Punkt $\mathbf{c} \neq (0,0)$ ist **keine lineare Transformation**.
Sie transformiert den Ursprung $(0, 0)$ in einen anderen Punkt als $(0, 0)$.
- **Vorgehen** bei der Rotation $R_{\mathbf{c},\alpha}$ um ein beliebiges Rotationszentrum \mathbf{c} :
 - Wir **verschieben die Ebene um $-\mathbf{c}$** , so dass das Rotationszentrum in $(0, 0)$ liegt.
 - Dann führen wir eine **Rotation R_α um $(0, 0)$** durch.
 - Danach verschieben wir die Ebene **um $+\mathbf{c}$ zurück**.

$$\begin{aligned} R_{\mathbf{c},\alpha}(\mathbf{x}) &= R_\alpha(\mathbf{x} - \mathbf{c}) + \mathbf{c} \\ &= R_\alpha(\mathbf{x}) + (-R_\alpha(\mathbf{c}) + \mathbf{c}) \end{aligned}$$

Affine Transformation

$$R_{\mathbf{c},\alpha}(\mathbf{x}) = R_{\alpha}(\mathbf{x} - \mathbf{c}) + \mathbf{c} = R_{\alpha}(\mathbf{x}) + (-R_{\alpha}(\mathbf{c}) + \mathbf{c})$$

- $R_{\mathbf{c},\alpha}$ ist eine nichtlineare Transformation. Sie unterscheidet sich von R_{α} nur durch das Addieren einer Konstante (unabhängig von \mathbf{x}).
- Transformationen (wie $R_{\mathbf{c},\alpha}$) der Form

$$T(\mathbf{x}) = A \cdot \mathbf{x} + \mathbf{b}$$

werden **affine Transformation** (oder auch affine Abbildung) genannt.

Rotationen in 3D

- Eine 2D **Rotation in der xy -Ebene** ist eine 3D **Rotation um die z -Achse**.

- Eine **Rotation** von Punkten um die z -Achse **hängt nicht von ihren z -Werten ab**.
 Punkte auf der z -Achse werden durch solch eine Rotation nicht betroffen.

- Die Rotationsmatrix um die **z -Achse** besitzt eine einfache Form:
 - Die zu xy zugehörige **Teilmatrix ist identisch zu dem 2D Fall** und
 - die Einträge zum Einfluss von z auf x sowie y und umgekehrt sind jeweils 0.

$$R_\alpha = \begin{pmatrix} \cos \alpha & -\sin \alpha \\ \sin \alpha & \cos \alpha \end{pmatrix} \quad \Rightarrow \quad R_{z,\alpha} = \underbrace{\begin{pmatrix} \cos \alpha & -\sin \alpha & 0 \\ \sin \alpha & \cos \alpha & 0 \\ 0 & 0 & 1 \end{pmatrix}}$$

Rotationsmatrix um die z -Achse

Rotationen in 3D

- Analog für Rotation um **x-Achse** und **y-Achse**

$$R_{z,\alpha} = \begin{pmatrix} \cos \alpha & -\sin \alpha & 0 \\ \sin \alpha & \cos \alpha & 0 \\ 0 & 0 & 1 \end{pmatrix}$$

$$R_{x,\alpha} = \begin{pmatrix} 1 & 0 & 0 \\ 0 & \cos \alpha & -\sin \alpha \\ 0 & \sin \alpha & \cos \alpha \end{pmatrix}$$

$$R_{y,\alpha} = \begin{pmatrix} \cos \alpha & 0 & \sin \alpha \\ 0 & 1 & 0 \\ -\sin \alpha & 0 & \cos \alpha \end{pmatrix}$$

Inverse Rotationsmatrix

- Erinnerung: Für alle Matrizen $R \in SO(3)$ gilt: $R \cdot R^T = I$
- Das heißt: Die inverse Rotationsmatrix R^{-1} entspricht der **transponierten** Rotationsmatrix R^T
- Beispiel:

$$R_{\mathbf{x},\theta}^{-1} = R_{\mathbf{x},-\theta} = \begin{pmatrix} 1 & 0 & 0 \\ 0 & \cos(-\theta) & -\sin(-\theta) \\ 0 & \sin(-\theta) & \cos(-\theta) \end{pmatrix} = \begin{pmatrix} 1 & 0 & 0 \\ 0 & \cos\theta & \sin\theta \\ 0 & -\sin\theta & \cos\theta \end{pmatrix} = R_{\mathbf{x},\theta}^T$$

- Die Inverse einer Rotationsmatrix kann also leicht berechnet werden.

Verkettung von Rotationen

- Rotationen können verkettet werden:

$$\phi_{z,\gamma} \left(\phi_{y,\beta} \left(\phi_{x,\alpha}(\mathbf{a}) \right) \right), \quad \mathbf{a} \in \mathbb{R}^3$$

- **Wichtig:** Es gibt **zwei Möglichkeiten**, die obere Verkettung als **Matrixprodukt** zu *interpretieren*:

- Von **rechts nach links**: Rotationen werden um **globale Achsen** durchgeführt, die sich nicht ändern.

$$R_{z,\gamma} \cdot \left(R_{y,\beta} \cdot \left(R_{x,\alpha} \cdot \mathbf{a} \right) \right) = R_{z,\gamma} \cdot R_{y,\beta} \cdot R_{x,\alpha} \cdot \mathbf{a}$$

- Von **links nach rechts**: Mit jeder Rotation ändern sich die Einheitsvektoren. Rotationen werden um **lokale Achsen** durchgeführt.

$$\left(\left(R_{z,\gamma} \cdot R_{y',\beta} \right) \cdot R_{x'',\alpha} \right) \cdot \mathbf{a} = R_{z,\gamma} \cdot R_{y',\beta} \cdot R_{x'',\alpha} \cdot \mathbf{a}$$

Beispiel: Verkettung von Rotationen (1)

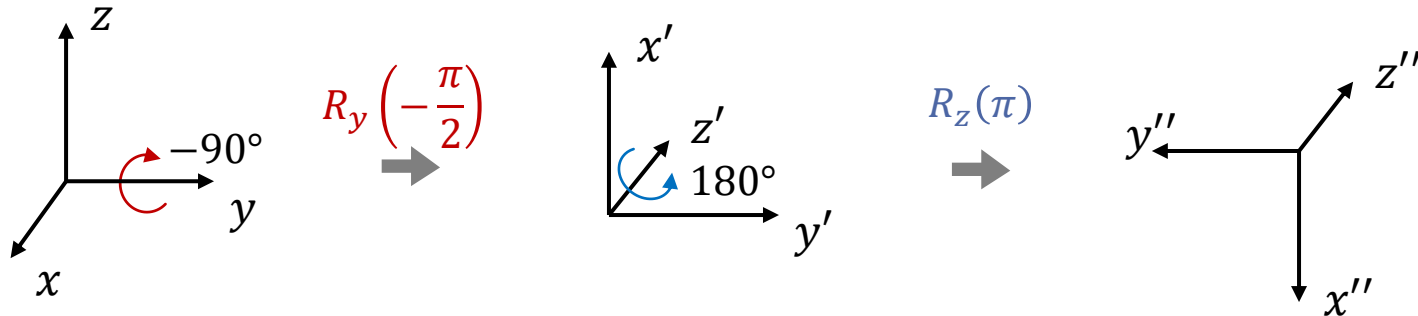
- Verkettung der folgenden Rotationen:

- Rotation um y -Achse: $-90^\circ \left(-\frac{\pi}{2}\right)$

$$R_y\left(-\frac{\pi}{2}\right) = \begin{pmatrix} \cos\left(-\frac{\pi}{2}\right) & 0 & \sin\left(-\frac{\pi}{2}\right) \\ 0 & 1 & 0 \\ -\sin\left(-\frac{\pi}{2}\right) & 0 & \cos\left(-\frac{\pi}{2}\right) \end{pmatrix} = \begin{pmatrix} 0 & 0 & -1 \\ 0 & 1 & 0 \\ 1 & 0 & 0 \end{pmatrix}$$

- Rotation um z -Achse: $180^\circ (\pi)$

$$R_z(\pi) = \begin{pmatrix} \cos(\pi) & -\sin(\pi) & 0 \\ \sin(\pi) & \cos(\pi) & 0 \\ 0 & 0 & 1 \end{pmatrix} = \begin{pmatrix} -1 & 0 & 0 \\ 0 & -1 & 0 \\ 0 & 0 & 1 \end{pmatrix}$$



Beispiel: Verkettung von Rotationen (2)

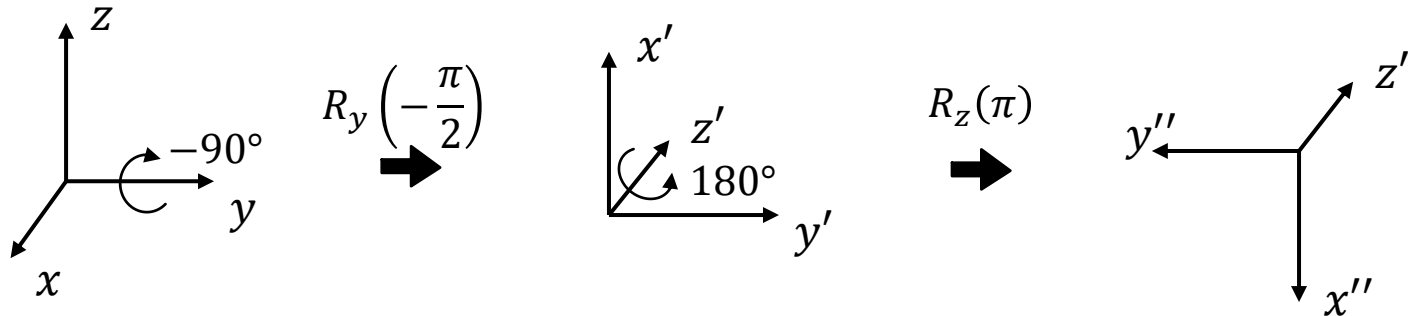
■ Berechnung der Rotationsmatrix

$$R = R_y\left(-\frac{\pi}{2}\right) \cdot R_z(\pi) = \begin{pmatrix} 0 & 0 & -1 \\ 0 & -1 & 0 \\ -1 & 0 & 0 \end{pmatrix}$$

Von **links nach rechts**:
 Mit jeder Rotation ändern
 sich die Einheitsvektoren.
 Rotationen um **lokale Achsen**

■ Transformation eines Vektors

$$\mathbf{p}'' = \begin{pmatrix} 0 & 0 & -1 \\ 0 & -1 & 0 \\ -1 & 0 & 0 \end{pmatrix} \cdot \mathbf{p} = \begin{pmatrix} 0 & 0 & -1 \\ 0 & -1 & 0 \\ -1 & 0 & 0 \end{pmatrix} \cdot \begin{pmatrix} p_1 \\ p_2 \\ p_3 \end{pmatrix} = \begin{pmatrix} -p_3 \\ -p_2 \\ -p_1 \end{pmatrix}$$



Probleme mit Rotationsmatrizen

- Rotationsmatrizen haben mehrere Nachteile:
 - **Redundanz**: Neun Werte für eine Rotationsmatrix
 - Im Bereich des **maschinellen Lernens**: Wenn die Einträge einer Rotationsmatrix unabhängig voneinander prädiziert werden, ist es wahrscheinlich, dass die resultierende Matrix keine gültige Rotationsmatrix ist.
→ Bestimmung einer Matrix, die „nah“ an der Rotationsmatrix ist
- Wie geht man mit diesen Problemen um?
 - Nutzung anderer Darstellungen für Rotationen (Quaternionen, Eulerwinkel)
 - Orthonormalisieren der Matrix

Eulerwinkel

- Es ist möglich, jede Rotation durch **drei Rotationen** um jeweils eine Rotationsachsen darzustellen.
- Die Achsen können willkürlich gewählt werden. Aus historischen Gründen wird oft die **Euler-Konvention $z\ x'\ z''$** verwendet.
- Die Winkel **α , β und γ** sind die Eulerwinkel. Sie beschreiben die Rotationsmatrix

$$R_{z,\alpha} \cdot R_{x',\beta} \cdot R_{z'',\gamma} =$$

$$\begin{pmatrix} \cos \alpha \cdot \cos \gamma - \sin \gamma \cdot \cos \beta \cdot \sin \alpha & -\sin \gamma \cdot \cos \alpha - \cos \gamma \cdot \cos \beta \cdot \sin \alpha & \sin \beta \cdot \sin \alpha \\ \sin \alpha \cdot \cos \gamma + \sin \gamma \cdot \cos \beta \cdot \cos \alpha & -\sin \gamma \cdot \sin \alpha + \cos \gamma \cdot \cos \beta \cdot \cos \alpha & -\sin \beta \cdot \cos \alpha \\ \sin \gamma \cdot \sin \beta & \cos \gamma \cdot \sin \beta & \cos \beta \end{pmatrix}$$

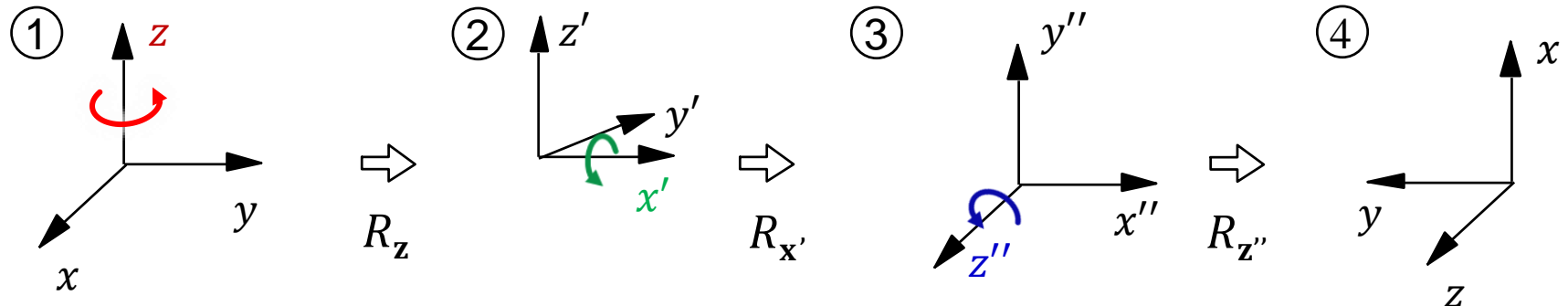
Eulerwinkel-Konvention $z\ x'\ z''$

Abfolge der Rotationen

1. Drehung um α um die z -Achse \mathbf{z}
2. Drehung um β um die neue x -Achse \mathbf{x}'
3. Drehung um γ um die neue z -Achse \mathbf{z}''

$$\left. \begin{array}{l} R_z \\ R_{x'} \\ R_{z''} \end{array} \right\} R_S = R_z R_{x'} R_{z''}$$

Wichtig: Drehung um jeweils veränderte Achsen!



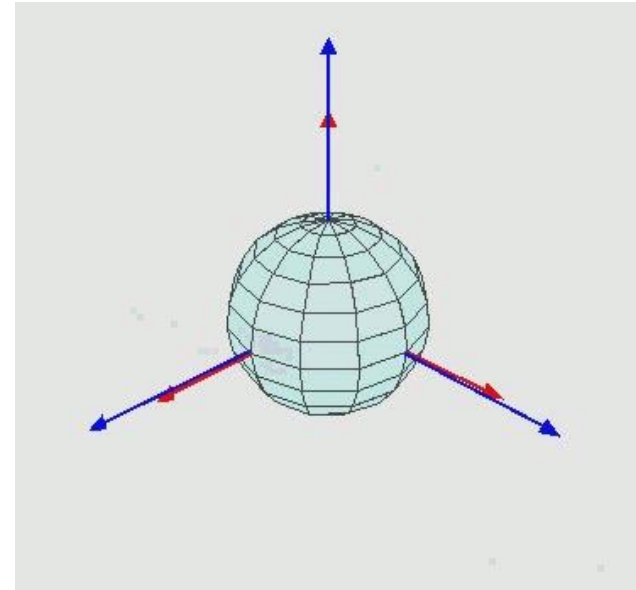
Eulerwinkel: Konventionen

■ **12 verschiedene Abfolgen** sind für die Rotationsmatrizen möglich:

■ z-x-z x-y-x y-z-y z-y-z x-z-x y-x-y

■ x-y-z y-z-x z-x-y x-z-y z-y-x y-x-z

■ Rotationen um **lokale oder feste** Achsen
 ⇒ insgesamt **24 Möglichkeiten**



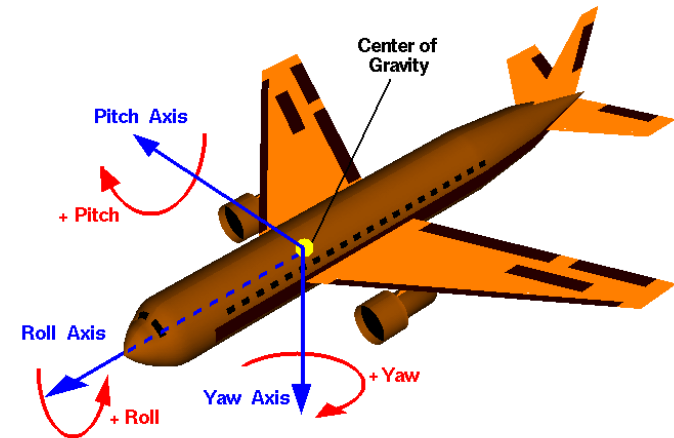
von Juansempre [CC BY-SA 4.0], via Wikimedia Commons

Roll, Pitch und Yaw

- Eine andere übliche Konvention ist die **Euler-Konvention x, y, z**
- Diese speziellen Eulerwinkel werden **Roll, Pitch, Yaw** genannt (im Deutschen: Roll-Nick-Gier-Winkel)

- **Abfolge der Rotationen:**

1. Globale x -Achse um α (Roll)
2. Globale y -Achse um β (Pitch)
3. Globale z -Achse um γ (Yaw)



von Nasa [Public domain], via ikimedia Commons

Eulerwinkel: Vor- und Nachteile

Vorteile:

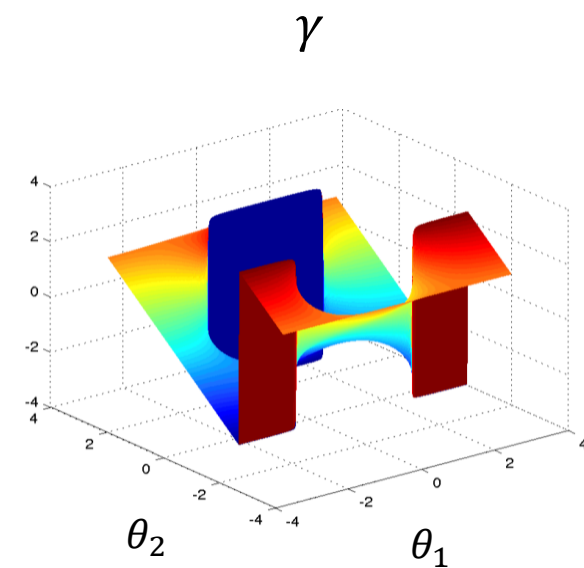
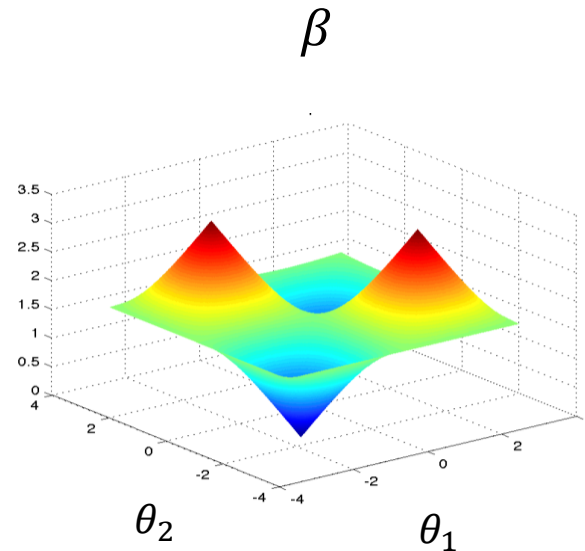
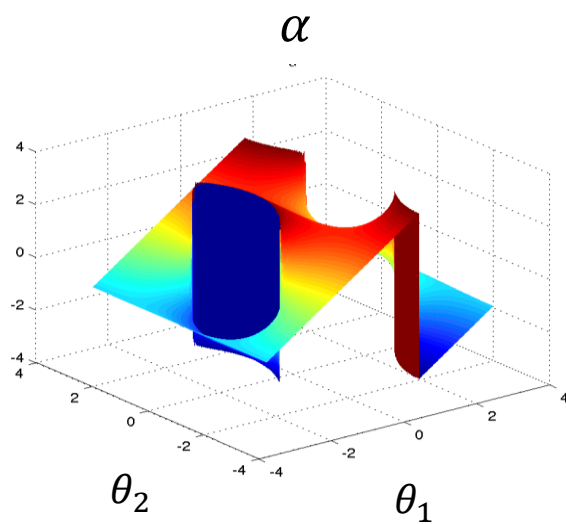
- **Kompakter** als Rotationsmatrizen
- **Aussagekräftiger** als Rotationsmatrizen

Nachteile:

- **Nicht eindeutig**
 - Beispiel: in der Euler-Konvention $\mathbf{x} \mathbf{y}' \mathbf{z}''$ beschreiben die Eulerwinkel $(45^\circ, -90^\circ, 45^\circ)$ und $(30^\circ, -90^\circ, 60^\circ)$ die gleiche Rotation!
- **Nicht kontinuierlich**
 - Die Eulerwinkel einer kontinuierlichen Rotation sind nicht kontinuierlich
 - Kleine Änderung in der Orientierung können zu großen Änderungen der Eulerwinkel führen
 - Konsequenz: Eine stetige Interpolation zwischen zwei Eulerwinkeln ist nicht möglich
 - Gimbal Effekt (Gimbal Lock)

Eulerwinkel: Interpolationsproblem

Eulerwinkel α, β, γ einer kontinuierlichen Rotation mit 2 Parametern θ_1, θ_2 :



Eulerwinkel – Gimbal Lock (1)

■ **12 verschiedene Abfolgen** sind für die Rotationsmatrizen möglich:

■ z-x-z x-y-x y-z-y z-y-z x-z-x y-x-y

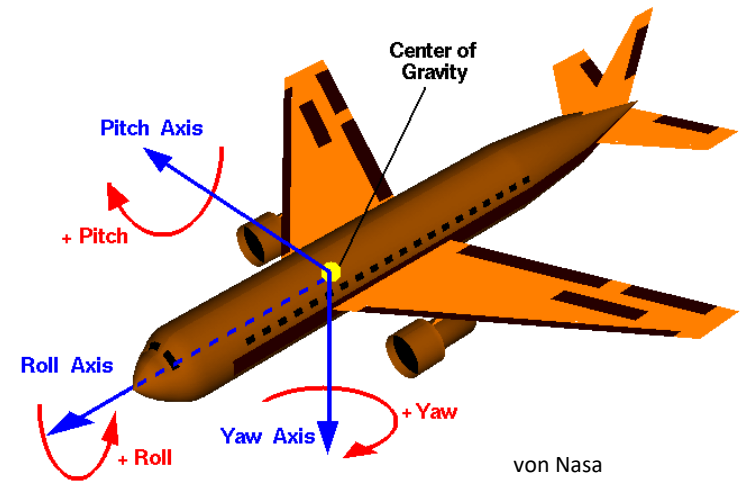
■ x-y-z y-z-x z-x-y x-z-y z-y-x y-x-z

■ Rotationabfolge x-y-z (Roll-Pitch-Yaw):

$$R_{z,\gamma} = \begin{pmatrix} \cos \gamma & -\sin \gamma & 0 \\ \sin \gamma & \cos \gamma & 0 \\ 0 & 0 & 1 \end{pmatrix}$$

$$R_{y,\beta} = \begin{pmatrix} \cos \beta & 0 & \sin \beta \\ 0 & 1 & 0 \\ -\sin \beta & 0 & \cos \beta \end{pmatrix}$$

$$R_{x,\alpha} = \begin{pmatrix} 1 & 0 & 0 \\ 0 & \cos \alpha & -\sin \alpha \\ 0 & \sin \alpha & \cos \alpha \end{pmatrix}$$



von Nasa
[Public domain], via
Wikimedia Commons

Eulerwinkel – Gimbal Lock (2)

- Annahme: $\beta = -\frac{\pi}{2}$

$$\sin\left(-\frac{\pi}{2}\right) = -1, \quad \cos\left(-\frac{\pi}{2}\right) = 0$$



$$R_{y, \beta = -\frac{\pi}{2}} = \begin{pmatrix} 0 & 0 & -1 \\ 0 & 1 & 0 \\ 1 & 0 & 0 \end{pmatrix}$$

- Multiplikation der Matrizen:

$$R = R_{z, \gamma} \cdot R_{y, \beta = -\frac{\pi}{2}} \cdot R_{x, \alpha} = \begin{pmatrix} 0 & -\sin \gamma & -\cos \gamma \\ 0 & \cos \gamma & -\sin \gamma \\ 1 & 0 & 0 \end{pmatrix} \begin{pmatrix} 1 & 0 & 0 \\ 0 & \cos \alpha & -\sin \alpha \\ 0 & \sin \alpha & \cos \alpha \end{pmatrix}$$

$$= \begin{pmatrix} 0 & -\sin \gamma \cos \alpha - \cos \gamma \sin \alpha & \sin \gamma \sin \alpha - \cos \gamma \cos \alpha \\ 0 & \cos \gamma \cos \alpha - \sin \gamma \sin \alpha & -\cos \gamma \sin \alpha - \sin \gamma \cos \alpha \\ 1 & 0 & 0 \end{pmatrix} = \begin{pmatrix} 0 & -\sin(\alpha + \gamma) & -\cos(\alpha + \gamma) \\ 0 & \cos(\alpha + \gamma) & -\sin(\alpha + \gamma) \\ 1 & 0 & 0 \end{pmatrix}$$



Gemeinsame Drehachse für Drehung um α und γ , 1 DoF geht verloren

Änderungen an α und γ haben momentan den gleichen Effekt

Eulerwinkel – Gimbal Lock (3)

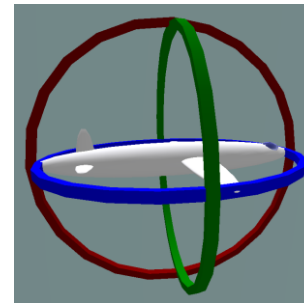
- Gimbal (kardanische Lagerung) erlaubt die Rotation um eine vorgegebene Achse
 - Kombination von 3 Elementen, um freie Bewegung zu ermöglichen
 - Messinstrumente wie Gyroskop, Kompass



von Bausch
[Public domain], via
Wikimedia Commons

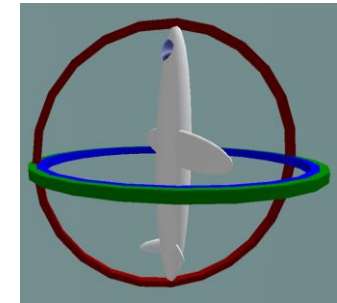
■ Gimbal Lock

- Bei bestimmten Winkeln werden zwei Achsen voneinander abhängig
- Ein Freiheitsgrad geht verloren (⇒ keine Momentangeschwindigkeit in diesem Freiheitsgrad möglich)



von MathsPoetry
[CC BY-SA 3.0], via
Wikimedia Commons

3 DoF



2 DoF

Rotationsmatrix vs. Eulerwinkel

Rotationsmatrizen

- „Natürliche“ Darstellung aus Sicht der linearen Algebra
- Eindeutig, kontinuierlich
- Redundanz durch 9 Werte

Eulerwinkel

- Kompakter
- Aussagekräftiger
- Nicht eindeutig
- Gimbal Lock
- Nicht kontinuierlich

Eulerwinkel vs. Roll-Pitch-Yaw

Eulerwinkel (z, x', z'')

- Multiplikation von links nach rechts

$$R_S = R_{z,\alpha} R_{x',\beta} R_{z'',\gamma}$$

- Jede Drehung ist lokal (bezieht sich auf das neue Koordinatensystem)
- Drehung um jeweils **veränderte** Achsen

Roll-Pitch-Yaw (x, y, z)

- Multiplikation von rechts nach links

$$R_S = R_{z,\gamma} R_{y,\beta} R_{x,\alpha}$$

- Jede Drehung ist global (bezieht sich auf das globale Koordinatensystem)
- Drehung jeweils um **feste** Achsen

Darstellung von Orientierung mit 3×3 -Matrizen

Bewertung:

- **Vorteil:** Vektor und Rotationsmatrix sind anschaulich und daher eine übliche Form der Eingabe von Posen (z.B. Objekt- und Endeffektorpose)
- **Nachteil:** Vektor- und Matrixoperationen müssen getrennt durchgeführt werden:

$$(\mathbf{p}, R) \text{ mit } \mathbf{p} \in \mathbb{R}^3 \text{ und } R \in SO(3) \subset \mathbb{R}^{3 \times 3}$$

Ziel: **Geschlossene Darstellung** von Rotation und Translation in einer Matrix

→ Benutzung affiner Transformationen
(Einsatz u.a. in der projektiven Geometrie)

Affine Transformationen

- Der **affine Raum** ist eine **Erweiterung des Euklidischen Raums**.
- Er beinhaltet Punkte und Vektoren, die in **erweiterten („homogenen“) Koordinaten** ausgedrückt werden:

$$\mathbf{a} = (a_x, a_y, a_z, h)^\top, \quad h \in \{0, 1\}$$

↖ für Ortsvektoren (Punkte)

↙ für Richtungsvektoren

- Affine Transformationen können so definiert werden, dass **lineare Transformationen** im euklidischen Raum (wie Rotation, Skalierung und Scheren um den Ursprung) **mit Translationen kombiniert** und in homogenen Koordinaten ausgedrückt werden können:

$$\mathbf{b} = A \cdot \mathbf{x} + \mathbf{t} \quad \Leftrightarrow \quad \begin{pmatrix} \mathbf{b} \\ 1 \end{pmatrix} = \begin{pmatrix} A & \mathbf{0} \\ \mathbf{0}^\top & 1 \end{pmatrix} \begin{pmatrix} \mathbf{x} \\ 1 \end{pmatrix} + \begin{pmatrix} \mathbf{t} \\ 0 \end{pmatrix} = \begin{pmatrix} A & \mathbf{t} \\ \mathbf{0}^\top & 1 \end{pmatrix} \begin{pmatrix} \mathbf{x} \\ 1 \end{pmatrix}$$

0 stellt den Nullvektor dar.

Affine Transformationen: Vorteile

- Es wird ermöglicht, **Rotationen um beliebige Achsen** im affinen Raum zu formulieren.
- **Rotationen und Translationen** können in einer **einzigsten homogenen 4×4 -Matrix** kombiniert werden.

Das heißt, Rotationen und Translationen können einheitlich abgehandelt werden.

Homogene 4×4 -Matrizen (1)

- Allgemeine homogene 4×4 Matrix:

$$T = \begin{pmatrix} R & \mathbf{t} \\ \mathbf{0}^\top & 1 \end{pmatrix} \quad T \in SE(3) \quad \text{mit } \mathbf{t} \in \mathbb{R}^3 \text{ und } R \in SO(3)$$

- **Translationsmatrix:** Verschiebung des Objekt-Koordinatensystem (OKS) nach $\mathbf{t} = (t_x, t_y, t_z)^\top$ im Basis-Koordinatensystem (BKS):

$$T_{\text{trans}} = \begin{pmatrix} 1 & 0 & 0 & t_x \\ 0 & 1 & 0 & t_y \\ 0 & 0 & 1 & t_z \\ 0 & 0 & 0 & 1 \end{pmatrix}$$

Homogene 4×4 -Matrizen (2)

Basisrotationsmatrizen:

$$T_{x,\alpha} = \begin{pmatrix} 1 & 0 & 0 & 0 \\ 0 & \cos \alpha & -\sin \alpha & 0 \\ 0 & \sin \alpha & \cos \alpha & 0 \\ 0 & 0 & 0 & 1 \end{pmatrix}$$

$$T_{y,\beta} = \begin{pmatrix} \cos \beta & 0 & \sin \beta & 0 \\ 0 & 1 & 0 & 0 \\ -\sin \beta & 0 & \cos \beta & 0 \\ 0 & 0 & 0 & 1 \end{pmatrix}$$

$$T_{z,\gamma} = \begin{pmatrix} \cos \gamma & -\sin \gamma & 0 & 0 \\ \sin \gamma & \cos \gamma & 0 & 0 \\ 0 & 0 & 1 & 0 \\ 0 & 0 & 0 & 1 \end{pmatrix}$$

Beispiel: Verschiebung mit homogenen 4×4 –Matrizen

Zwei Punkte \mathbf{a} und \mathbf{b} sollen um $+5$ in x -Richtung und um -3 in z -Richtung verschoben werden.

$$\mathbf{a} = (4, 3, 2, 1)^\top \qquad \mathbf{b} = (6, 2, 4, 1)^\top$$

$$\mathbf{a}' = A \cdot \mathbf{a} = \begin{pmatrix} 1 & 0 & 0 & +5 \\ 0 & 1 & 0 & 0 \\ 0 & 0 & 1 & -3 \\ 0 & 0 & 0 & 1 \end{pmatrix} \cdot \begin{pmatrix} 4 \\ 3 \\ 2 \\ 1 \end{pmatrix} = \begin{pmatrix} 9 \\ 3 \\ -1 \\ 1 \end{pmatrix}$$

$$\mathbf{b}' = A \cdot \mathbf{b} = \begin{pmatrix} 1 & 0 & 0 & +5 \\ 0 & 1 & 0 & 0 \\ 0 & 0 & 1 & -3 \\ 0 & 0 & 0 & 1 \end{pmatrix} \cdot \begin{pmatrix} 6 \\ 2 \\ 4 \\ 1 \end{pmatrix} = \begin{pmatrix} 11 \\ 2 \\ 1 \\ 1 \end{pmatrix}$$

Homogene 4×4 -Matrizen: Invertierung

$$\mathbf{b} = R \cdot \mathbf{x} + \mathbf{t} \quad \Leftrightarrow \quad \begin{pmatrix} \mathbf{b} \\ 1 \end{pmatrix} = T \cdot \begin{pmatrix} \mathbf{x} \\ 1 \end{pmatrix} = \begin{pmatrix} R & \mathbf{t} \\ \mathbf{0}^\top & 1 \end{pmatrix} \cdot \begin{pmatrix} \mathbf{x} \\ 1 \end{pmatrix}$$

1. Rotiere \mathbf{x} um R
2. Verschiebe das Ergebnis um \mathbf{t} (im *rotierten* Koordinatensystem)

■ Wir suchen die homogene Matrix T^{-1} , die \mathbf{b} wieder auf \mathbf{x} abbildet:

$$R \cdot \mathbf{x} + \mathbf{t} = \mathbf{b}$$

$$R \cdot \mathbf{x} = \mathbf{b} - \mathbf{t}$$

$$\mathbf{x} = R^{-1} \cdot (\mathbf{b} - \mathbf{t})$$

$$\mathbf{x} = R^{-1} \cdot \mathbf{b} - R^{-1} \cdot \mathbf{t}$$

$$\mathbf{x} = (R^{-1}) \cdot \mathbf{b} + (-R^{-1} \cdot \mathbf{t})$$

$$\mathbf{x} = (R^\top) \cdot \mathbf{b} + (-R^\top \cdot \mathbf{t})$$

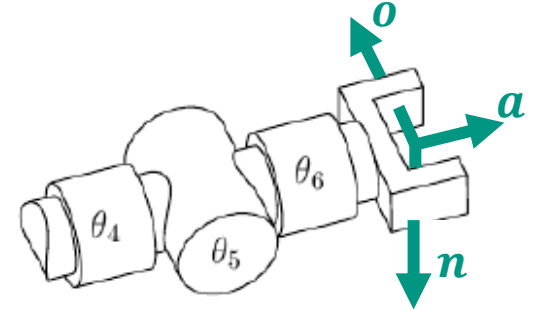
$$T^{-1} = \begin{pmatrix} R^\top & -R^\top \cdot \mathbf{t} \\ \mathbf{0}^\top & 1 \end{pmatrix}$$

Homogene 4×4 -Matrizen als Transformation (1)

Abbildung des Ortsvektors \mathbf{p}_{OKS} (Punkt im OKS) ins BKS:

$$\mathbf{p}_{BKS} = T \cdot \mathbf{p}_{OKS}$$

$$\text{mit: } T = \begin{pmatrix} n_x & o_x & a_x & u_x \\ n_y & o_y & a_y & u_y \\ n_z & o_z & a_z & u_z \\ 0 & 0 & 0 & 1 \end{pmatrix} = \begin{pmatrix} \mathbf{n} & \mathbf{o} & \mathbf{a} & \mathbf{u} \\ 0 & 0 & 0 & 1 \end{pmatrix}$$



\mathbf{u} : Ursprung des Objekt-KS (OKS)

\mathbf{n} , \mathbf{o} , \mathbf{a} : Einheitsvektoren des OKS bezüglich des Basis-KS (BKS)

\mathbf{n} normal
 \mathbf{a} approach
 \mathbf{o} orientation

Homogene 4×4 -Matrizen als Transformation (2)

■ Invertierung:

$$T = \begin{pmatrix} \mathbf{n} & \mathbf{o} & \mathbf{a} & \mathbf{u} \\ 0 & 0 & 0 & 1 \end{pmatrix} = \begin{pmatrix} n_x & o_x & a_x & u_x \\ n_y & o_y & a_y & u_y \\ n_z & o_z & a_z & u_z \\ 0 & 0 & 0 & 1 \end{pmatrix}$$

$$T^{-1} = \begin{pmatrix} & R^T & & -R^T \mathbf{u} \\ 0 & 0 & 0 & 1 \end{pmatrix} = \begin{pmatrix} n_x & n_y & n_z & -\mathbf{n}^T \mathbf{u} \\ o_x & o_y & o_z & -\mathbf{o}^T \mathbf{u} \\ a_x & a_y & a_z & -\mathbf{a}^T \mathbf{u} \\ 0 & 0 & 0 & 1 \end{pmatrix}$$

Homogene 4×4 -Matrizen: Eigenschaften

- Eine homogene 4×4 -Matrix enthält **12** ($\mathbf{n}, \mathbf{o}, \mathbf{a}, \mathbf{u}$) nichttriviale Größen im Gegensatz zu **6** ($x, y, z, \alpha, \beta, \gamma$) notwendigen
- Redundanz, aber mit zusätzlichen Randbedingungen, die Orthogonalität ($R \cdot R^T = I$) garantieren
- Drehachsen und Drehreihenfolge sind implizit enthalten

Vergleich: Kartesische und Homogene Darstellung

■ In kartesischen Koordinaten:

$$\begin{pmatrix} x' \\ y' \\ z' \end{pmatrix} = \begin{pmatrix} n_x & o_x & a_x \\ n_y & o_y & a_y \\ n_z & o_z & a_z \end{pmatrix} \cdot \begin{pmatrix} x \\ y \\ z \end{pmatrix} + \begin{pmatrix} t_x \\ t_y \\ t_z \end{pmatrix}$$

■ In homogenen Koordinaten:

$$\begin{pmatrix} x' \\ y' \\ z' \\ 1 \end{pmatrix} = \begin{pmatrix} n_x & o_x & a_x & t_x \\ n_y & o_y & a_y & t_y \\ n_z & o_z & a_z & t_z \\ 0 & 0 & 0 & 1 \end{pmatrix} \cdot \begin{pmatrix} x \\ y \\ z \\ 1 \end{pmatrix}$$

Interpretationen von homogenen 4×4 –Matrizen

- **Lagebeschreibung** eines Koordinatensystems:

${}^A P_B$ beschreibt die Lage (Pose) des Koordinatensystems B relativ zum Koordinatensystem A

- **Transformationsabbildung** (zwischen Koordinatensystemen):

$${}^A T_B: {}^B P \rightarrow {}^A P, \quad {}^A P = {}^A T_B \cdot {}^B P$$

- **Transformationsoperator** (innerhalb eines Koordinatensystems):

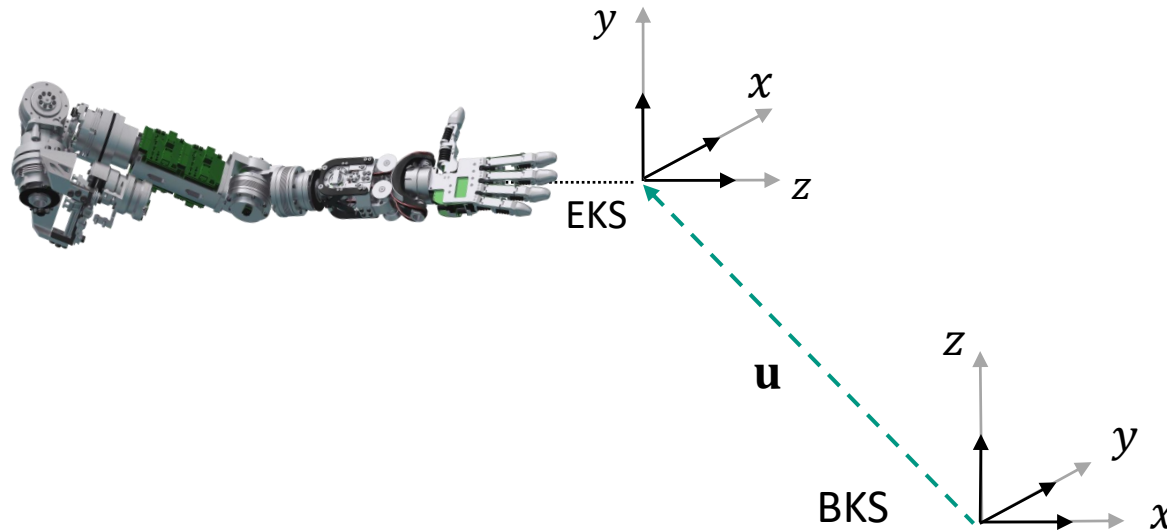
$$T: {}^A P_1 \rightarrow {}^A P_2, \quad {}^A P_2 = T \cdot {}^A P_1$$

Beispiel: Koordinatensystem-Transformation (1)

- Gegeben: Punkt im Endeffektor-Koordinatensystem (EKS)

$${}^{\text{EKS}}\mathbf{p} = (0, -3, 5)^{\top}$$

- Gesucht: Punkt im Basis-Koordinatensystem (BKS) ${}^{\text{BKS}}\mathbf{p}$



$$\mathbf{u} = \begin{pmatrix} -7 \\ 0 \\ 8 \end{pmatrix}$$

$$\mathbf{R} = \begin{pmatrix} 0 & 0 & 1 \\ 1 & 0 & 0 \\ 0 & 1 & 0 \end{pmatrix}$$

Beispiel: Koordinatensystem-Transformation (2)

- Gegeben: Punkt im Endeffektor-Koordinatensystem (EKS)

$${}^{\text{EKS}}\mathbf{p} = (0, -3, 5)^{\top}$$

- Gesucht: Punkt im Basis-Koordinatensystem (BKS) ${}^{\text{BKS}}\mathbf{p}$

$$\mathbf{u} = \begin{pmatrix} -7 \\ 0 \\ 8 \end{pmatrix} \quad R = \begin{pmatrix} 0 & 0 & 1 \\ 1 & 0 & 0 \\ 0 & 1 & 0 \end{pmatrix}$$

$${}^{\text{BKS}}\mathbf{p} = \begin{pmatrix} 0 & 0 & 1 & -7 \\ 1 & 0 & 0 & 0 \\ 0 & 1 & 0 & 8 \\ 0 & 0 & 0 & 1 \end{pmatrix} \begin{pmatrix} 0 \\ -3 \\ 5 \\ 1 \end{pmatrix} = \begin{pmatrix} -2 \\ 0 \\ 5 \\ 1 \end{pmatrix}$$

Verkettete Lagebeschreibung (1)

Sei

${}^{\text{BKS}}T_A$ die Lagebeschreibung des Objekts A bzgl. BKS

AT_B die Lagebeschreibung eines Objekts B , bezogen auf das OKS von A

${}^{\text{BKS}}T_B$ die Lagebeschreibung des Objekts B bzgl. BKS

So gilt ${}^{\text{BKS}}T_B = {}^{\text{BKS}}T_A \cdot {}^AT_B$

Kompaktere Schreibweise im Vergleich zur kartesischen Darstellung:

$$R_{B_{\text{neu}}} + \mathbf{t}_{B_{\text{neu}}} = R_A \cdot (R_B + \mathbf{t}_B) + \mathbf{t}_A = R_A \cdot R_B + (R_A \cdot \mathbf{t}_B + \mathbf{t}_A)$$

Verkettete Lagebeschreibung (2)

- Lage von Objekt 1 bzgl. BKS: ${}^{\text{BKS}}T_{O_1}$
- Lage von Objekt 2 bzgl. Objekt 1: ${}^{O_1}T_{O_2}$
- Lage von Objekt 3 bzgl. Objekt 2: ${}^{O_2}T_{O_3}$
- Lage von Objekt 3 bzgl. BKS: ${}^{\text{BKS}}T_{O_3}$

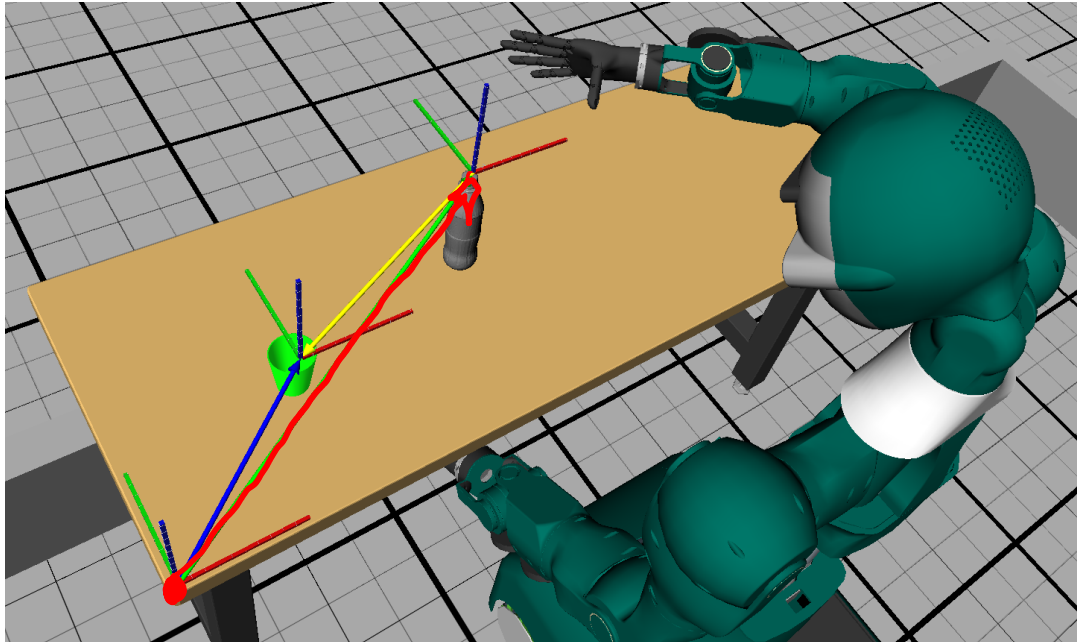
$${}^{\text{BKS}}T_{O_3} = {}^{\text{BKS}}T_{O_1} \cdot {}^{O_1}T_{O_2} \cdot {}^{O_2}T_{O_3}$$

Bei einer verketteten Lagebeschreibung durch ein Produkt von Matrizen muss jede Matrix sich auf die durch die jeweils links stehende Matrix definierte Lage beziehen:

$${}^{A_0}T_{A_n} = \prod_{i=1}^n {}^{A_{i-1}}T_{A_i} \quad \text{mit } A_0 = \text{BKS}$$

Verkettete Lagebeschreibung: Beispiel

$${}^{\text{BKS}}H_{\text{Tasse}} = {}^{\text{BKS}}H_{\text{Flasche}} \cdot \text{Flasche}H_{\text{Tasse}}$$



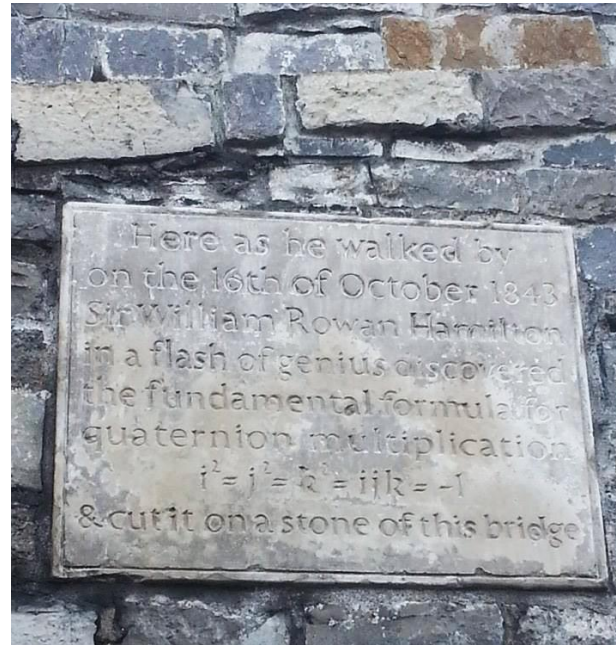
Quaternionen

- Probleme mit Rotationsmatrizen:
 - Redundant
 - Schwierige Interpolation
- Probleme mit Eulerwinkeln:
 - Numerisch instabil
 - Gimbal Lock
- Existiert eine andere Repräsentation ohne diese Nachteile?
- **Antwort: Ja, Quaternionen!**
 - Quaternionen sind eine **Verallgemeinerung der komplex Zahlen** \mathbb{C} („Hyperkomplexe Zahlen“)
 - Geprägt 1843 (Oktober 16) durch William Rowan Hamilton
 - Siehe (Horn 1987)
 - **Quaternionen können Rotationen in 3D repräsentieren**

Berthold K. P. Horn, **Closed-Form Solution of Absolute Orientation Using Unit Quaternions**,
Journal of the Optical Society of America A 4(4):629-642; April 1987, DOI: [10.1364/JOSAA.4.000629](https://doi.org/10.1364/JOSAA.4.000629)

Quaternionen

■ Broome Bridge in Dublin





$i^2 = j^2 = k^2 = ijk = -1$

Visualisierung zu Quaternionen

- Explorable Video, by Grant Sanderson and Ben Eater
- <https://www.youtube.com/watch?app=desktop&v=d4EgbgTm0Bg>

Quaternionen: Definition

$$\begin{aligned} h &= (a+ib) + (c+id)j \\ &= a+ib + cj + ij \cdot d \end{aligned}$$

- Die Menge der **Quaternionen** \mathbb{H} ist definiert durch

$$\mathbb{H} = \mathbb{C} + \mathbb{C}j \quad \text{mit} \quad \underbrace{j^2 = -1} \quad \text{und} \quad i \cdot j = -j \cdot i = \underbrace{k} \quad k^2 = -1$$

- Ein Element $\mathbf{q} \in \mathbb{H}$ hat die Form

$$\mathbf{q} = (a, \mathbf{u})^T = \underbrace{a} + u_1 i + u_2 j + u_3 k \quad \text{mit } a \in \mathbb{R}, \mathbf{u} \in \mathbb{R}^3 \text{ und } k = i \cdot j$$

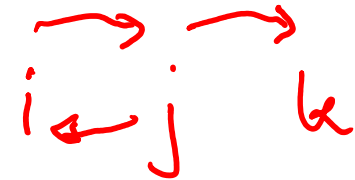
- a wird als **Realteil** bezeichnet
- $\mathbf{u} = (u_1, u_2, u_3)^T$ wird als **Imaginärteil** bezeichnet
- In Code sind übliche Notationen $\underbrace{(w, x, y, z)}$ oder (x, y, z, w) mit $w = a$ und $(x, y, z) = \mathbf{u}$

Quaternionen: Rechenregeln (1)

$$\mathbf{q} = (a, \mathbf{u})^\top = a + u_1i + u_2j + u_3k$$

$$\begin{aligned}
 i^2 &= j^2 = k^2 = i \cdot j \cdot k = -1 \\
 i \cdot j &= -j \cdot i = k && \text{(nicht kommutativ!)} \\
 k \cdot i &= -i \cdot k = j
 \end{aligned}$$

| \cdot | 1 | i | j | k |
|---------|-----|------|------|------|
| 1 | 1 | i | j | k |
| i | i | -1 | k | $-j$ |
| j | j | $-k$ | -1 | i |
| k | k | j | $-i$ | -1 |



Quaternionen: Rechenregeln (2)

- Gegeben zwei Quaternionen \mathbf{q}, \mathbf{r} :

$$\mathbf{q} = (\underbrace{a}, \underbrace{\mathbf{u}})^\top, \quad \mathbf{r} = (b, \mathbf{v})^\top$$

- **Addition:**

$$\mathbf{q} + \mathbf{r} = (a + b, \mathbf{u} + \mathbf{v})^\top$$

- **Skalarprodukt:**

$$\langle \mathbf{q} | \mathbf{r} \rangle = a \cdot b + \langle \mathbf{v} | \mathbf{u} \rangle = a \cdot b + v_1 \cdot u_1 + v_2 \cdot u_2 + v_3 \cdot u_3$$

- **Multiplikation:**

$$\mathbf{q} \cdot \mathbf{r} = (a + u_1i + u_2j + u_3k) \cdot (b + v_1i + v_2j + v_3k)$$

Quaternionen: Rechenregeln (2)

■ Quaternion:

$$\mathbf{q} = (a, \mathbf{u})^\top$$

$$q = 1 + i + 2j - 3k$$

■ Konjugierte Quaternion:

$$\mathbf{q}^* = (a, -\mathbf{u})^\top$$

$$q^* = 1 - i - 2j + 3k$$

■ Norm einer Quaternion:

$$|\mathbf{q}| = \sqrt{\mathbf{q} \cdot \mathbf{q}^*} = \sqrt{\mathbf{q}^* \cdot \mathbf{q}} = \sqrt{a^2 + u_1^2 + u_2^2 + u_3^2}$$

■ Inverse einer Quaternion:

$$\mathbf{q}^{-1} = \frac{\mathbf{q}^*}{|\mathbf{q}|^2}$$

&

$$\|q\| = 1$$

Quaternionen: Rotationen (1)

Einheitsquaternionen $\mathbb{S}^3 = \{\mathbf{q} \in \mathbb{H} \mid \|\mathbf{q}\|^2 = 1\}$

■ Existieren auf der Einheitskugel \mathbb{S}^3 in 4D

■ Norm = 1

⇒ 1 von 4 „Freiheitsgraden“ festgelegt

⇒ 3 „Freiheitsgrade“ übrig

■ Bilden eine Gruppe. Erinnerung Gruppeneigenschaften:

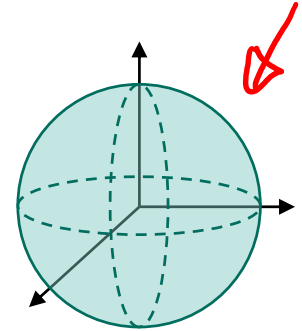
■ Assoziativgesetz

■ Existenz eines inversen Elements zu jedem Gruppenelement

■ Existenz eines Nullelements

■ **Definieren Rotationen**

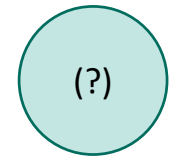
Es existiert eine Einbettung von $SO(3) \subset \mathbb{R}^3$ nach \mathbb{H}



Einheitskugel \mathbb{S}^2 in 3D



Einheitskugel \mathbb{S}^3 in 4D



Quaternionen: Rotationen (2)

Frage: Wie repräsentiert man eine Rotation z.B. 46° um die Achse $(0,1,0)^\top$ als Quaternion?

- Beschreibung eines **Vektors** $\mathbf{p} \in \mathbb{R}^3$ als Quaternion \mathbf{q} :

$$\mathbf{p} = \underbrace{(x, y, z)^\top} \quad \Rightarrow \quad \mathbf{q} = \underbrace{(0, \mathbf{p})^\top}$$

- Beschreibung eines **Skalars** $s \in \mathbb{R}$ als Quaternion \mathbf{q} :

$$\mathbf{q} = \underbrace{(s, \mathbf{0})^\top}$$

Quaternionen: Rotationen (3)

- Sei eine Rotation beschrieben durch eine **Drehachse** \mathbf{a} mit $\|\mathbf{a}\| = 1$ und einen **Drehwinkel** θ , dann existiert hierfür eine Repräsentation als Quaternion

$$\mathbf{q} = \left(\underbrace{\cos \frac{\theta}{2}}_{\text{red wavy line}}, \underbrace{\mathbf{a}}_{\text{red arrow}} \sin \frac{\theta}{2} \right)$$

- Ein Punkt \mathbf{v} wird mit einer Quaternion \mathbf{q} rotiert durch:

$$\mathbf{v}' = \mathbf{q} \underbrace{\mathbf{v}}_{\text{red wavy line}} \mathbf{q}^{-1}$$

- Da \mathbf{q} eine Einheitsquaternion ist, gilt $\mathbf{q}^{-1} = \mathbf{q}^*$ und somit folglich:

$$\mathbf{v}' = \mathbf{q} \mathbf{v} \mathbf{q}^*$$

Quaternionen: Rotationen (4)

- Verkettung zweier Rotationen eines Vektors \mathbf{v} mit zwei Quaternionen \mathbf{q} und \mathbf{r} :

$$\mathbf{q} = \left(\cos \frac{\theta_q}{2}, \mathbf{u}_q \sin \frac{\theta_q}{2} \right), \quad \mathbf{r} = \left(\cos \frac{\theta_r}{2}, \mathbf{u}_r \sin \frac{\theta_r}{2} \right)$$

- Rotation mit jeweils einer Quaternion:

$$f(\mathbf{v}) = \mathbf{q} \mathbf{v} \mathbf{q}^*, \quad h(\mathbf{v}) = \mathbf{r} \mathbf{v} \mathbf{r}^*$$

- Verkettung $f \circ h$:

$$f(h(\mathbf{v})) = \mathbf{q} (\mathbf{r} \mathbf{v} \mathbf{r}^*) \mathbf{q}^*$$

- $f \circ h$ entspricht gerade der Rotation mit der Quaternion $\mathbf{s} = \mathbf{q} \cdot \mathbf{r}$
 ⇒ Verkettung $\hat{=}$ Multiplikation

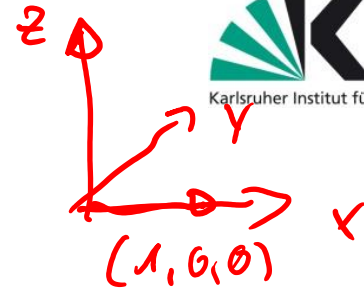
Quaternionen: Beispiel

- Rotation des Punkts
um die Drehachse
mit Winkel

$$\mathbf{p} = (1, 0, 9)^T$$

$$\mathbf{a} = (1, 0, 0)^T$$

$$\theta = 90^\circ$$



\mathbf{p} als Quaternion: $u = 0 + 1 \cdot i + 0 \cdot j + 9k$
 $= i + 9k \leftarrow$

Rotationsquat. $\theta = 90^\circ$ $\mathbf{a} = (1, 0, 0)^T$

$$q = \left(\cos \frac{\theta}{2}, \mathbf{a} \cdot \sin \frac{\theta}{2} \right)$$

$$\begin{aligned}
 q &= \cos 45^\circ + 1 \cdot i \cdot \sin 45^\circ + 0 \cdot j \sin 45^\circ + 0 \cdot k \cdot \sin 45^\circ \\
 &= \frac{1}{\sqrt{2}} + \frac{1}{\sqrt{2}} i = \frac{1}{\sqrt{2}} (1 + i)
 \end{aligned}$$

$$v_r = q \cdot v \cdot q^*$$

$$q^* = \frac{1}{\sqrt{2}} (1 - i)$$

Rotation von v um q : $v_r = q \cdot v \cdot q^*$

$$V_r = \frac{1}{\sqrt{2}} (1+i) (i+gk) \cdot \frac{1}{\sqrt{2}} (1-i)$$

$$= \frac{1}{2} (i+gk + \underbrace{i^2}_{=-1} + \underbrace{gik}_{=-j}) (1-i)$$

$$= \frac{1}{2} (i+gk - 1 - gj) (1-i)$$

$$= i - gj$$

$$V_r = 0 + i - gj + 0 \cdot k$$

Quaternionen: Beispiel

■ Beispiel: Rotation des Punkts $\mathbf{p} = (1, 0, 9)^\top$
 um die Drehachse $\mathbf{a} = (1, 0, 0)^\top$
 mit Winkel $\theta = 90^\circ$

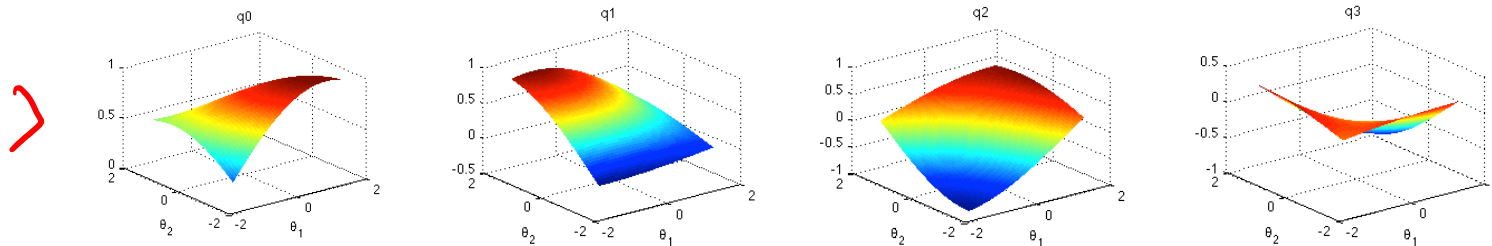
1. Darstellung von \mathbf{p} als Quaternion \mathbf{v} $\mathbf{v} = 0 + 1i + 0j + 9k$
2. Rotationsquaternion \mathbf{q} $\mathbf{q} = \cos \frac{\theta}{2} + 1i \cdot \sin \frac{\theta}{2} + 0j + 0k$
3. Konjugierte Quaternion \mathbf{q}^* $\mathbf{q}^* = \cos \frac{\theta}{2} - 1i \cdot \sin \frac{\theta}{2} - 0j - 0k$
4. Rotation von \mathbf{v} um \mathbf{q} $\mathbf{v}_r = \mathbf{q} \mathbf{v} \mathbf{q}^* \rightarrow \mathbf{v}_r = \underline{0 + 1i - 9j + 0k}$
5. Darstellung als Punkt \mathbf{p}_r $\mathbf{p}_r = \underline{(1, -9, 0)^\top}$

Achtung: Die Multiplikation von Quaternionen ist nicht kommutativ.

Quaternionen: Bewertung

Vorteile:

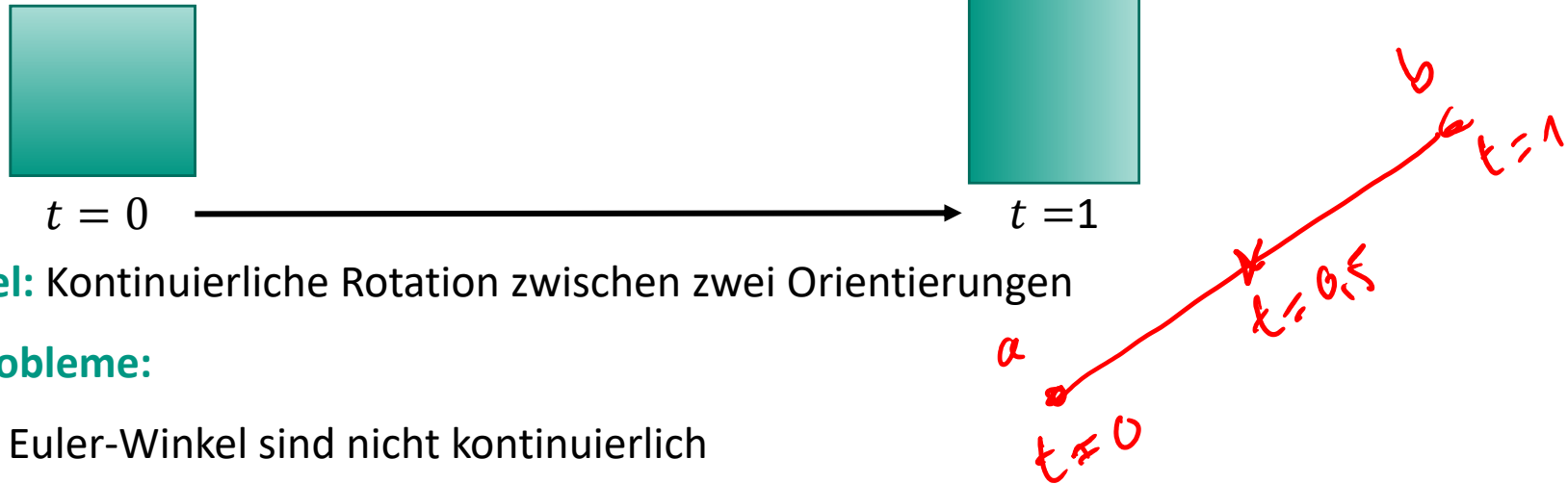
- Kompakte Darstellung: 4 Werte im Vergleich zu 9 bei Rotationsmatrizen
- Anschaulich (angelehnt an Axis-Winkel Repräsentation)
- Verkettung möglich, ähnlich wie bei Rotationsmatrix
- Kann für Berechnung der Inversen Kinematik verwendet werden (späteres Kapitel)
- Kein Gimbal Lock
- Repräsentation ist stetig (keine Sprünge, siehe Bilder)



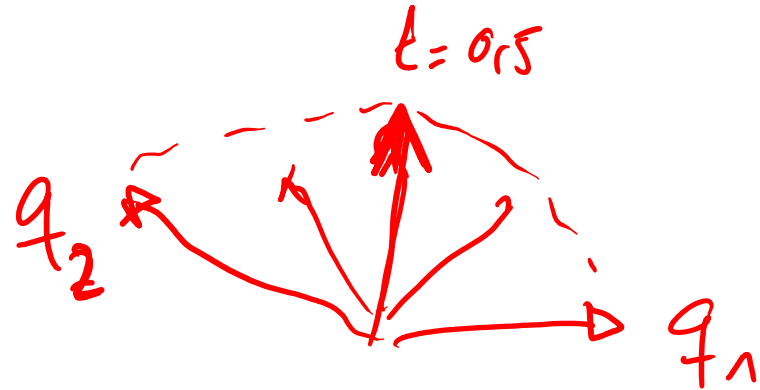
Nachteil:

- Nur Beschreibung von Rotation, keine Translation

Quaternionen: Interpolation



- **Ziel:** Kontinuierliche Rotation zwischen zwei Orientierungen
- **Probleme:**
 - Euler-Winkel sind nicht kontinuierlich
 - Rotationsmatrizen haben viele Freiheitsgrade
- Interpolation von Quaternionen mittels **SLERP** (Spherical Linear Interpolation)
- Ähnlich zu linearer Interpolation: $a \cdot (1 - t) + b \cdot t$



Quaternionen: SLERP

- SLERP Interpolation von \mathbf{q}_1 nach \mathbf{q}_2 mit dem Parameter $t \in [0, 1]$:

$$\text{Slerp}(\mathbf{q}_1, \mathbf{q}_2, t) = \mathbf{q}_1 \cdot (\mathbf{q}_1^{-1} \cdot \mathbf{q}_2)^t$$

(Potenzen von Quaternionen wird nicht in der Vorlesung behandelt)

- Direkte Formulierung der SLERP Interpolation:

$$\text{Slerp}(\mathbf{q}_1, \mathbf{q}_2, t) = \frac{\sin((1-t)\cdot\theta)}{\sin \theta} \cdot \mathbf{q}_1 + \frac{\sin(t\cdot\theta)}{\sin \theta} \cdot \mathbf{q}_2 \quad \text{mit} \quad \underbrace{\langle \mathbf{q}_1 | \mathbf{q}_2 \rangle}_{\text{red}} = \underbrace{\cos \theta}_{\text{red}}$$

- Ergebnis: Rotation mit konstanter Winkelgeschwindigkeit

Quaternionen: Interpolationsprobleme

- **Problem:** Orientierungen in $SO(3)$ werden durch Einheitsquaternionen doppelt abgedeckt, weil die Einheitsquaternionen \mathbf{q} und $-\mathbf{q}$ der gleichen Rotation entsprechen.

Beweis:

- Rotation von \mathbf{v} um \mathbf{q} entspricht Rotation von \mathbf{v} um $-\mathbf{q}$.
 - $\mathbf{v}_r = \mathbf{q} \mathbf{v} \mathbf{q}^* = (-\mathbf{q}) \mathbf{v} (-\mathbf{q})^*$
 - Die negativen Vorzeichen löschen sich aus.
- SLERP berechnet deshalb nicht immer die kürzeste Rotation
⇒ Es muss geprüft werden, ob die Rotation von \mathbf{q}_1 zu \mathbf{q}_2 oder $-\mathbf{q}_1$ zu \mathbf{q}_2 kürzer ist

Duale Quaternionen (1)

$$q = a + i u_1 + j u_2 + k u_3$$

Problem:

- Reelle Quaternionen (wie bisher) eignen sich für die Beschreibung der Orientierung, ...
- aber **nicht zur Beschreibung der Position** eines Objektes (Translation fehlt).

Idee:

- Ersetze die 4 reellen Werte einer Quaternion durch Dualzahlen
- Erhalte so zusätzliche translatorische Komponente, um die Position eines Objekts ausdrücken zu können
- → **Duale Quaternionen**

Duale Quaternionen (2): Duale Zahlen

- Duale Zahlen sind von der Form

$$\underline{d = p + \varepsilon \cdot s, \text{ wobei } \varepsilon^2 = 0}$$

- Primärteil p , Sekundärteil s

- Ähnlich wie bei komplexen Zahlen lassen sich die üblichen Operationen ableiten

- Seien $d_1 = p_1 + \varepsilon \cdot s_1$ und $d_2 = p_2 + \varepsilon \cdot s_2$ duale Zahlen, dann gilt:

- Addition: $d_1 + d_2 = p_1 + p_2 + \varepsilon \cdot (s_1 + s_2)$

- Multiplikation: $d_1 \cdot d_2 = p_1 \cdot p_2 + \varepsilon \cdot (p_1 \cdot s_2 + p_2 \cdot s_1)$

Duale Quaternionen (3)

Beschreibung

$$DQ = (\underbrace{d_1, d_2, d_3, d_4}), \quad d_i = dp_i + \varepsilon \cdot ds_i$$

- Primärteil dp_i enthält den **Winkelwert** $\theta/2$
- Sekundärteil ds_i enthält die **Translationssgröße** $d/2$

Duale Quaternionen (4)

Multiplikationstabelle für duale Einheitsquaternionen

| \cdot | 1 | i | j | k | ε | εi | εj | εk |
|-----------------|-----------------|------------------|------------------|------------------|-----------------|------------------|------------------|------------------|
| 1 | 1 | i | j | k | ε | εi | εj | εk |
| i | i | -1 | k | $-j$ | εi | $-\varepsilon$ | εk | $-\varepsilon j$ |
| j | j | $-k$ | -1 | i | εj | $-\varepsilon k$ | $-\varepsilon$ | εi |
| k | k | j | $-i$ | -1 | εk | εj | $-\varepsilon i$ | $-\varepsilon$ |
| ε | ε | εi | εj | εk | 0 | 0 | 0 | 0 |
| εi | εi | $-\varepsilon$ | εk | $-\varepsilon j$ | 0 | 0 | 0 | 0 |
| εj | εj | $-\varepsilon k$ | $-\varepsilon$ | εi | 0 | 0 | 0 | 0 |
| εk | εk | εj | $-\varepsilon i$ | $-\varepsilon$ | 0 | 0 | 0 | 0 |

Duale Quaternionen (5)

- Rotation um eine Achse \mathbf{a} mit dem Winkel θ :

$$\mathbf{q}_r = \left(\cos \left(\frac{\theta}{2} \right), \mathbf{a} \cdot \sin \left(\frac{\theta}{2} \right) \right) + \varepsilon \cdot (0, 0, 0, 0)$$

- Translation mit dem Vektor $\mathbf{t} = (t_x, t_y, t_z)$

$$\mathbf{q}_t = (1, 0, 0, 0) + \varepsilon \cdot \left(0, \frac{t_x}{2}, \frac{t_y}{2}, \frac{t_z}{2} \right)$$

- Kombination zu einer Transformation T :

$$\underline{\mathbf{q}_T} = \underline{\mathbf{q}_t} \underline{\mathbf{q}_r}$$

Duale Quaternionen (6)

- Eine Transformation T mit einem rotatorischem Teil r und einem translatorischen Teil t , kann als duale Quaternion beschrieben werden durch:

$$\underline{\mathbf{q}_T} = \mathbf{q}_t \mathbf{q}_r$$

- Eine Transformation \mathbf{q}_T wird auf einen Punkt \mathbf{p} (als duale Quaternion) wie folgt angewendet:

$$\mathbf{p}' = \mathbf{q}_T \mathbf{p} \mathbf{q}_T^*, \text{ mit } \mathbf{q}_T^* = (\mathbf{q}_t \mathbf{q}_r)^* = \mathbf{q}_r^* \mathbf{q}_t^*$$

- Konjugieren (komplex und dual) von $\mathbf{q} = \mathbf{p} + \varepsilon \cdot \mathbf{s}$:

$$\mathbf{q}^* = \mathbf{p}^* - \varepsilon \cdot \underline{\mathbf{s}^*}$$

Duale Quaternionen: Beispiel (1)

- Beispiel: Rotation eines Punkts $\mathbf{p} = (3, 4, 5)^\top$ 
 - um Drehachse $\mathbf{a} = (1, 0, 0)^\top$ mit $\theta = 180^\circ$
 - und Translation mit $\mathbf{p}_t = (4, 2, 6)^\top$

- \mathbf{p} als duale Quaternion \mathbf{v}_d

$$\mathbf{v}_d = 1 + \underline{3\varepsilon i} + 4\varepsilon j + 5\varepsilon k$$

- Rotation als duale Quaternion \mathbf{q}_r

$$\mathbf{q}_r = \cos \frac{\theta}{2} + 1i \cdot \sin \frac{\theta}{2} + 0j + 0k = i$$

- Translation als duale Quaternion \mathbf{q}_t

$$\mathbf{q}_t = 1 + 2\varepsilon i + 1\varepsilon j + 3\varepsilon k$$

- Kombination als duale Quaternion \mathbf{q}_T

$$\mathbf{q}_T = \mathbf{q}_t \cdot \mathbf{q}_r = (1 + 2i\varepsilon + 1j\varepsilon + 3k\varepsilon) \cdot i = i - 2\varepsilon - 1\varepsilon k + 3\varepsilon j$$

Duale Quaternionen: Beispiel (2)

- Beispiel: Rotation eines Punkts $\mathbf{p} = (3,4,5)^\top$
 um Drehachse $\mathbf{a} = (1,0,0)^\top$ mit $\theta = 180^\circ$
 und Translation mit $\mathbf{p}_t = (4,2,6)^\top$

$$\mathbf{q}_T = (0 + i) + \varepsilon(-2 - 1k + 3j) = i - 2\varepsilon - 1\varepsilon k + 3\varepsilon j$$

$$\mathbf{q}_T^* = (0 - i) - \varepsilon(-2 + 1k - 3j) = -i + 2\varepsilon + 3\varepsilon j - 1\varepsilon k$$

- Transformation:

$$\mathbf{v}_T = \mathbf{q}_T \mathbf{v}_d \mathbf{q}_T^* = (i - 2\varepsilon - 1\varepsilon k + 3\varepsilon j)(1 + 3\varepsilon i + 4\varepsilon j + 5\varepsilon k) \mathbf{q}_T^*$$

$$= (i - 5\varepsilon - 2\varepsilon j + 3\varepsilon k)(-i + 2\varepsilon + 3\varepsilon j - 1\varepsilon k)$$

$$= \mathbf{1} + 7\varepsilon i - 2\varepsilon j + 1\varepsilon k$$

- Ergebnis: $\mathbf{p}_T = (7, -2, 1)^\top$

Duale Quaternionen: Beispiel (3)

- Beispiel: Rotation eines Punkts $\mathbf{p} = (3,4,5)^\top$
 um Drehachse $\mathbf{a} = (1,0,0)^\top$ mit $\theta = 180^\circ$
 und Translation mit $\mathbf{p}_t = (4,2,6)^\top$

- Ergebnis: $\mathbf{p}_T = (7, -2, 1)^\top$

- Probe:

- Rotation um die x -Achse mit $\phi = 180^\circ$

$$\mathbf{p}_r = (3, -4, -5)^\top$$

- Translation mit $\mathbf{p}_t = (4,2,6)^\top$:

$$\mathbf{p}_T = \mathbf{p}_r + \mathbf{p}_t = (3, -4, -5)^\top + (4, 2, 6)^\top = (7, -2, 1)^\top$$

Duale Quaternionen: Bewertung

Vorteile:

- Dualquaternionen sind zur Lagebeschreibung eines Objekts geeignet
- Operationen auf Dualquaternionen erlauben auch alle benötigten Transformationen
- Geringe Redundanz, da nur 8 Werte im Vergleich 12 Werten der homogenen Matrix Darstellung
- In der Regel geringe Anzahl an Einzeloperationen je Rechenoperation

Nachteile:

- Schwierigkeit für den Anwender, eine Lage durch Angabe einer Dualquaternion zu beschreiben
- Komplexe Verarbeitungsvorschriften (z.B. für Multiplikation)

Zusammenfassung

- Verschiedene Darstellungsformen für Rotationen und Translationen im Euklidischen Raum
 - Rotationsmatrix und Verschiebungsvektor
 - Eulerwinkel
 - Homogene 4×4 Matrix
 - Quaternionen
 - Duale Quaternionen

- Jede Darstellungsart hat spezifische Vor- und Nachteile
- Konkrete Anwendung bestimmt Auswahl der Methode

Englische Begriffe

| Deutsch | Englisch |
|--------------------|--|
| Gelenk | Joint |
| Glied | Link |
| Endeffektor | End Effector – Tool Center Point (TCP) |
| Greifer | Gripper |
| Kinematische Kette | Kinematic Chain |
| Freiheitsgrade | Degrees of Freedom (DoF) |
| Lineare Abbildung | Linear Map |
| Koordinatensystem | Coordinate System |
| Euklidischer Raum | Euclidean Space |
| Basisvektor | Base Vector |
| Senkrecht | Perpendicular |
| Basiswechsel | Change of Base |